



UNIVERSIDAD NACIONAL AUTÓNOMA DE MÉXICO

POSGRADO EN CIENCIAS BIOLÓGICAS

Facultad de Ciencias

“ACTIVIDAD DE NF-κB DURANTE
EL DESARROLLO CARDIACO”

TESIS

QUE PARA OBTENER EL GRADO ACADÉMICO DE

DOCTOR EN CIENCIAS

P R E S E N T A

M en C DESIDERIO SALOMÓN HERNÁNDEZ GUTIÉRREZ

DIRECTOR(A) DE TESIS: DR. EMILIO ROJAS DEL CASTILLO

MEXICO DF

MARZO DE 2006



UNAM – Dirección General de Bibliotecas

Tesis Digitales
Restricciones de uso

DERECHOS RESERVADOS ©
PROHIBIDA SU REPRODUCCIÓN TOTAL O PARCIAL

Todo el material contenido en esta tesis está protegido por la Ley Federal del Derecho de Autor (LFDA) de los Estados Unidos Mexicanos (Méjico).

El uso de imágenes, fragmentos de videos, y demás material que sea objeto de protección de los derechos de autor, será exclusivamente para fines educativos e informativos y deberá citar la fuente donde la obtuvo mencionando el autor o autores. Cualquier uso distinto como el lucro, reproducción, edición o modificación, será perseguido y sancionado por el respectivo titular de los Derechos de Autor.

AGRADECIMIENTOS

Esta tesis se realizó en el Laboratorio de Genética y Toxicología Molecular del IIB-UNAM a cargo del Dr. Emilio Rojas del Castillo y en el Laboratorio de Biología Molecular de la Escuela de Medicina de la Universidad Panamericana a cargo del M en C Manuel Ramos Kuri

Agradezco a cada una de las personas que participaron con su ayuda en la realización de este trabajo, particularmente al Dr. Emilio Rojas del Castillo por darme su apoyo en todo momento como persona, tutor y amigo, a la Dra. Isabel García Pelaéz y al Dr. Alejandro Zentella Dehesa por formar parte de mi comité tutorial y los miembros del jurado por la minuciosa revisión de este escrito y sus valiosos comentarios.

Al Posgrado en Ciencias de la UNAM, al CONACyT y a la Escuela de Medicina de la UP cuyas contribuciones parciales financiaron este proyecto.

A mis amigos y compañeros Alfonso, Fernando, Manuel, Javier, Pablo, Mahara y Mariel

“ACTIVIDAD DE NF- κB DURANTE EL DESARROLLO CARDIACO”

RESUMEN	1
ABSTRACT	3
INTRODUCCIÓN	
EL DESARROLLO DEL CORAZÓN	5
EL CORAZÓN Y LA APOPTOSIS	9
LA ACTIVACIÓN Y LA FUNCIÓN DE NF-κB	13
LOS INHIBIDORES DE NF-κB (IkBs)	15
EL NF-κB Y LOS CARDIOCITOS	18
EL NF-κB Y EL CORAZÓN	21
LA PARTICIPACIÓN DE NF-κB EN LA APOPTOSIS	22
EL PAPEL DE NF-κB Y LA PROTECCIÓN CONTRA LA APOPTOSIS EN CARDIOCITOS	23
EL CORAZÓN DE EMBRIÓN DE POLLO COMO MODELO PARA ESTUDIAR LA APOPTOSIS <i>IN VIVO</i> Y LA PARTICIPACIÓN DE NF-κB	23
PLANTEAMIENTO DEL PROBLEMA	24
HIPOTESIS	25
OBJETIVO GENERAL	26
OBJETIVOS PARTICULARES	26
ARTÍCULO 1	28
ARTÍCULO 2	37
DISCUSIÓN	66
CONCLUSIONES	71
BIBLIOGRAFIA	72
APENDICE A	76

ACTIVIDAD DE NF-κB DURANTE EL DESARROLLO CARDIACO

RESUMEN

El factor nuclear kappa B (NF-κB) es un factor de transcripción dimérico que se encuentra en el citoplasma cuya actividad depende de un proceso de fosforilación de sus inhibidores los IκBs. A pesar de que su actividad ha sido asociada a mecanismos tanto apoptóticos como anti-apoptóticos, dependiendo del contexto celular; han sido más las evidencias que apoyan su papel como factor de protección contra la apoptosis. Sin embargo, se desconoce su participación como factor citoprotector en sistemas *in vivo*.

Aunque la presencia de apoptosis ha sido ampliamente estudiada en células y tejidos cardíacos, particularmente ha sido enfocado al estudio del tracto de salida (TS) del corazón durante el desarrollo de embrión de pollo, donde se requiere la eliminación espacio-temporal de cardiocitos, para poder formar las conexiones ventriculo-arteriales. Esta región del corazón es de suma importancia ya que más del 90% de las alteraciones cardíacas en niños se deben a defectos congénitos y de todas las enfermedades cardíacas congénitas, poco más del 30% tiene su origen en el TS.

En este trabajo investigamos si durante las etapas más críticas del desarrollo del tracto de salida, en el corazón de embrión de pollo, si NF-κB está involucrado en procesos de protección contra la apoptosis y si es determinante en la morfogénesis durante el desarrollo normal del corazón. Para ello creamos un sistema reportero de expresión con sitios κB unidos al cDNA de la proteína verde

fluorescente (GFP) en dos vectores de transferencia, uno plasmidico y otro adenoviral, que permitieron rastrear la actividad transcripcional de NF- κ B *in vivo*. Al mismo tiempo evitamos la fosforilación de un evento bioquímico asociado a la activación de NF- κ B al utilizar un inhibidor irreversible de I κ B α : BAY 11-7085 para bloquear su función y ver el efecto biológico que esto produce.

Los resultados del bloqueo de NF- κ B con el inhibidor farmacológico BAY 11-7085 muestran que al ser tratados con el BAY 11-7085, los corazones sufren serias alteraciones a nivel de tracto de salida. La fluorescencia aparece justo en la misma zona donde el inhibidor previamente causó las alteraciones cardiacas. Posteriormente, con análisis por TUNEL mostramos que los corazones alterados (a nivel del TS) por el inhibidor presentan un índice apoptótico mayor cuando se compara con los corazones normales, lo cual revela una función de protección contra la apoptosis de NF- κ B *in vivo*.

ABSTRACT:

NF- κ B is a dimeric transcription factor that exists in the cytosol. This complex is inhibited by I-kappa-B proteins, which inactivate NF- κ B by trapping it in the cytoplasm. Curiously NF- κ B has been found to be associated with anti-apoptotic as well as pro-apoptotic mechanisms. While NF- κ B is most commonly found to be cytoprotective there are a number of instances where it is pro-apoptotic depending on the inducing stimulus and the cell context. In case of *in vivo* remains unknown. Although, the presence of apoptosis or programmed cell death has been widely documented in developing cardiac tissues, particular studies in the chicken out flow tract (OFT) has been shown the the spatially and temporally regulated elimination of cardiocytes by apoptosis during the heart chicken development. The OFT zone is very important because, more than 90% of the heart ailments in children are due to known congenital defects and of all congenital heart defects, more than 30% are primary defects.

The aim of this work was investigated if NF- κ B plays an important cytoprotective role during apoptosis outflow tract (OFT), and that induces apoptosis during chicken heart morphology, for which we design a plasmid and an adenovirus vector that report the NF- κ B presence of the active form, although the GFP expression *in vivo*. Then we used BAY 11-7085 an irreversible inhibitor of I κ B α phosphorylation to inhibit NF- κ B activation and function.

The result of this study shown several congenital cardiac alterations at OFT level, when Bay 11-7085 was injected in the zone where the gene reporter was

expressed and we found, by TUNNEL assay; an increase of apoptosis rate, which suggest that, the activation of NF- κ B give rise to cytoprotective signals *in vivo* that prevent the development of cardiac alteration at OFT level.

EL DESARROLLO DEL CORAZON

Existen diferencias entre los diversos modelos de estudio del corazón, sin embargo los procesos y las moléculas durante la cardiogénesis son conservados.

Las principales diferencias parecen estar relacionadas al tiempo de expresión de los genes y los patrones de modulación de dichas moléculas conservadas (de la Cruz. 1997).

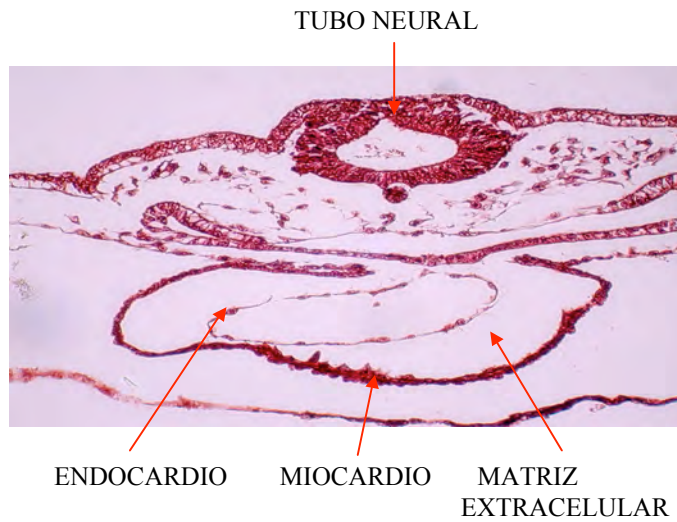
En el embrión de pollo la identificación de los progenitores cardiacos se da a las 4 horas de la gastrulación en la capa celular del epiblasto del tronco primitivo. Los precursores cardiacos están localizados en ambos lados del nodo de Hensen (mesodermo anterior) esto ocurre durante las primeras 12 horas del desarrollo embrionario. A partir de las 16 horas de incubación (estadio 3 de HH) es el periodo más importante para el desarrollo normal del corazón ya que en este momento comienzan a producir las señales que determinarán la direccionalidad de la migración cardíaca. Los precursores migran desde las áreas precardiacas hasta el sitio final del corazón, así como también se produce la diferenciación final a cardiocitos. Posteriormente el desarrollo continúa hasta las 33 horas para formar un tubo primario y a las 33 horas del desarrollo (estadio 8-9 de HH) el pequeño y débil corazón comienza a latir y a desarrollar su sistema de conducción.

Histológicamente, en el corazón, en etapas embrionarias tempranas cuando el corazón aparece como una estructura tubular, fácilmente se pueden distinguir dos capas celulares, una epitelial interna constituida por endocardio, una externa cubierta por miocardio y ambas están separadas por una interfase de matriz extracelular conocida también como gelatina cardíaca (fig 1 A).

proceso de torsión del corazón en forma de tubo, lo podemos dividir en tres etapas: pre-asa, asa y post-asa (fig1 B). Durante estas etapas del desarrollo podemos ya de manera morfológica y funcional, distinguir 4 segmentos bien definidos 1.- atrios 2.- ventrículos 3.- canal atrio-ventricular y 4.-tracto de salida.

Durante los estadios 10-14 se comienza a dar la formación temprana del tracto de salida (cono-tronco) primero con la aparición del cono proximal y luego del 16-22 con la aparición de la porción distal, el tronco. La apoptosis en el tracto de salida es detectada a partir del estadio 19-34 alcanzando su máxima actividad entre el 27-30, se cree que el epicardio induce apoptosis en los cardíocitos tan pronto como entra en contacto con el miocardio. El epicardio se origina en el estadio 14-15 a partir del órgano pro-epicárdico formado por células mesoteliales (epitelio celómico) que se encuentran sobre la superficie del seno venoso y el septum transversal. El epicardio da origen, a las células mesenquimales de la capa sub-epicárdica, al endotelio y células del músculo liso de las coronarias y a los fibroblastos perivasculares e inter-miocardiales. Durante el estadio 15 y 16 se lleva a cabo la septación ventricular y atrial, aparecen los cojines que darán origen a la formación de las válvulas en el canal atrioventricular y en el tracto de salida. El miocardio prolifera y hay trabeculación. Durante el estadio 27 se da la septación del tracto de salida y origina el tronco arterioso formado por la aorta y la pulmonar. En el estadio 36 comienzan a aparecer las fibras de Purkinje y el corazón está constituido como órgano completamente funcional y diferenciado (Martinsen 2005)

La conformación final del corazón, como órgano de cuatro cámaras con tracto de entrada y de salida ocurre por efecto de torsión a partir de la formación del tubo cardíaco (fig 1 C). Esta transformación se explica en términos de crecimiento diferencial y por procesos morfogénicos que se dan con el paso del tiempo. Indudablemente, estos procesos están controlados por mecanismos de activación que ponen en marcha diferentes programas genéticos, cuyo resultado es la aparición de zonas transcripcionales regionalizadas (Kelly et al 1999).



A)

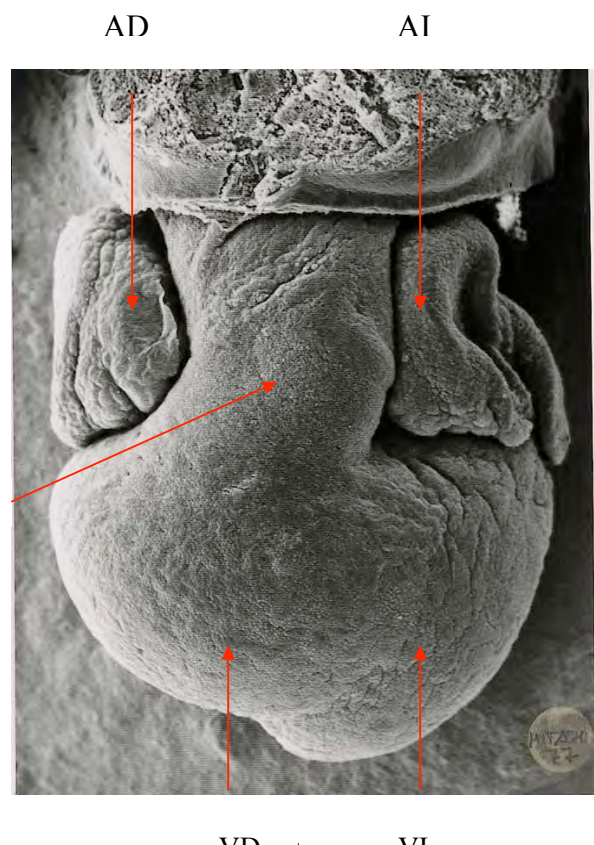
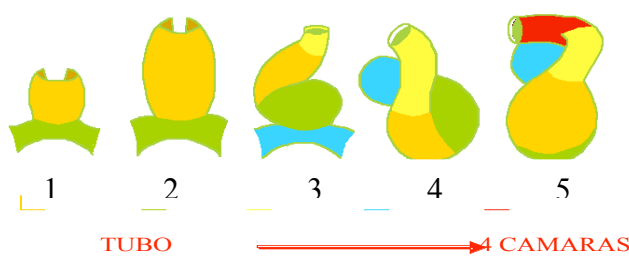


Figura 1 Morfogénesis Cardiaca. Conformación final del corazón como órgano de cuatro cámaras a partir de un simple tubo. A) Corte transversal que muestra como la formación de corazón inicia como un simple tubo formado por dos capas, una interna, endocardio una externa miocardio y entre ambas de la matriz extracelular. B) El desarrollo del corazón embrionario se divide en tres etapas 1 y 2 pre-asa, 3 asa y 4 y 5 post-asa para finalmente quedar conformado como un órgano de cuatro camaras C) AD (atrio derecho), AI (atrio izquierdo), TS (tracto de salida), VD (ventrículo derecho), VI (ventrículo Izquierdo).

EL CORAZÓN Y LA APOPTOSIS

La apoptosis o muerte celular programada no es un proceso limitado a una sola especie ya que a través del tiempo se ha podido identificar en todas especies de animales donde se ha buscado, presentándose en una diversidad de órganos. Uno de los procesos relevantes durante la remodelación del corazón es precisamente la apoptosis, que a diferencia de las patologías, durante el desarrollo se trata de un evento fisiológico altamente regulado en tiempo y espacio. Particularmente, el estudio de la apoptosis en el corazón se ha realizado utilizando los modelos de pollo, rata, ratón y humano, principalmente.

La historia de la apoptosis en corazón comienza formalmente en 1957 cuando Goerttler habla de la existencia de células necróticas, aunque ya en 1948 Hughes sugiere que ocurre muerte celular durante los procesos de remodelación en la parte dorsal de la aorta, en la involución de los ductos arteriosos y la formación del septum aortico pulmonar, en corazón de embrión de pollo. En 1965 Menkes y colaboradores descubren células muertas en el septum aortico-pulmonar. En 1967 Illies fue el primero en reportar la existencia de células degeneradas en el corazón embrionario humano y en 1969 reportó la presencia de muerte celular asociada a procesos de fagocitosis en el ventrículo de embrión de pollo. Pexieder y colaboradores han sido los que más han trabajado en caracterizar la muerte celular durante el desarrollo embrionario (1968-1975) concentrando sus esfuerzos en estudios sistemáticos de la localización ultra-estructural del fenómeno de muerte celular durante el desarrollo del corazón de embrión de pollo, lo que les permitió hacer estudios más extensos sobre el papel de la muerte celular en morfogénesis y teratogénesis del corazón. En 1973 Satow publica el primer

reporte de la presencia de apoptosis en corazón embrionario de rata, en este mismo año Ojeda y Hurley publican su primer artículo de la muerte celular en el endocardio del tubo cardíaco de embrionarios de pollo. En 1981 Satow y colaboradores reportan una serie de estudios comparativos sobre morfología y muerte celular fisiológica entre los modelos de rata y pollo. Los resultados revelaron que en el corazón embrionario de rata, la muerte celular en el septum del cono parece jugar un papel importante para la formación del tracto de salida del ventrículo derecho, lo mismo ocurre en el corazón de pollo pero con menor intensidad.

Hay que mencionar que lo anterior fue una recopilación de un libro publicado en 1981 por Thomas Pexieder cuando concepto de apoptosis como lo conocemos hoy en día, no existía. En todos estos estudios se uso el termino de muerte celular espontánea o fisiológica y en retrospectiva podemos darnos cuenta que se trataba de apoptosis. Para su detección se utilizaron criterios morfológicos por medio del análisis histológico. El término de apoptosis toma relevancia y se vuelve un concepto más común a finales de los 80s y principios de los 90s con estudios a nivel molecular.

Durante mucho tiempo los estudios de apoptosis en el corazón fueron meramente descriptivos ya que se podía encontrar esporádicamente en cualquier región, e incluso se llegó a concluir que era un proceso importante en la remodelación. Sin embargo, esto no se pudo comprobar del todo debido a limitaciones técnicas que previeran de estudios más profundos. Esto hizo que existiera un abandono parcial en el estudio de la apoptosis en el corazón, y no fuera sino hasta 1998 cuando Watanabe y Fisher, Keyes en 2000 y Cheng en 2000 retomaran el estudio de la

apoptosis del corazón en pollo y rata, con la ayuda de nuevas técnicas en biología molecular. Ellos utilizan, genes reporteros acarreados en diferentes vectores virales, ensayos de TUNEL, Anexina V etc. Los resultados obtenidos con las técnicas moleculares traen nuevamente al centro de la discusión la importancia que tiene la apoptosis en el desarrollo del corazón, sobre todo en zonas que tienen que ver con el tracto de salida, donde se requiere de muerte celular para la formación de las conexiones ventrículo-arteriales (Watanabe et al 2001) o en la zona de los cojines endocárdicos que tienen que ver con la formación de las válvulas arteriales (Keyes y Sanders 2002)

Una de las zonas del corazón de embrión de pollo que sufre un marcado proceso de remodelación por apoptosis es la del tracto de salida, donde se alcanza su mayor actividad apoptótica durante los estadios 29-30 de Hamburger y Hamilton (HH) (Rothenberg et al, 2002, Cheng et al 2002), que corresponde aproximadamente a los 6 y 1/2 días de incubación. En esta etapa del desarrollo la apoptosis juega un papel importante para la conformación funcional final del tracto de salida ya que si se inhibe la formación de focos apoptóticos que ocurren normalmente durante el desarrollo de estas áreas, se provocan anomalías y alteraciones morfogenéticas (Watanabe et al 2001). Cabe mencionar que poco más del 30% de las malformaciones congénitas en el corazón se debe a alteraciones del tracto de salida (Ferencz et al, 1985).

Los eventos apoptóticos pueden ser desencadenados por múltiples estímulos y actuar a través de dos vías diferentes, una extrínseca, mediada por receptores de muerte que estimulan la activación de caspasas y la otra intrínseca a nivel mitocondrial estimulando la liberación de citocromo C (Fig 2)

La ejecución del programa de muerte, activado durante la apoptosis puede suspenderse inactivando sus vías con el uso de inhibidores específicos, o a través de inhibidores de la activación de factores de transcripción, como el factor nuclear κB (NF-κB, RelA/p50) que se transloca al núcleo para regular la actividad transcripcional de genes que poseen en su promotor secuencias consenso κB, algunos de los genes que regulan NF-κB para bloquear la apoptosis codifican para las IAPs (proteínas inhibidoras de la apoptosis) y el gen Bcl-2 (fig 2)

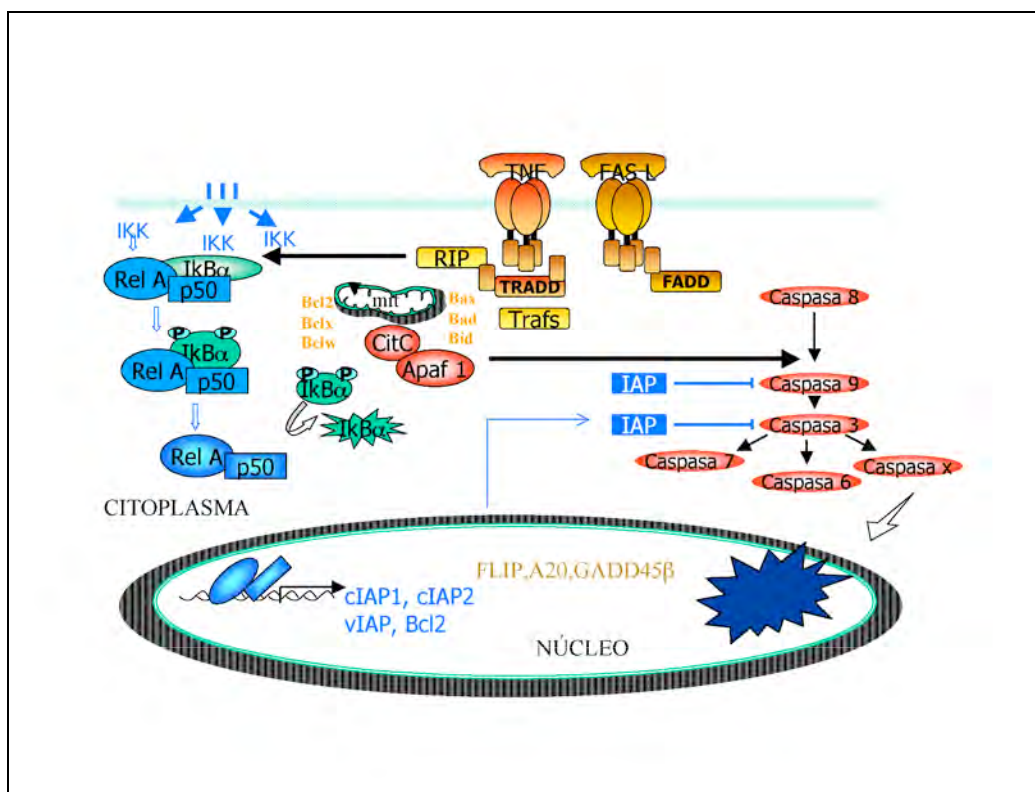


Figura 2. Posible mecanismo de protección contra la apoptosis en cardiocitos. Una vez que NF-κB (RelA/p50) ingresa al núcleo puede activar genes cuyos productos bloquean el paso de la señal apoptótica de la vía mediada por receptores (extrínseca), como las IAPs que inactivan a las caspasa, o activar genes antiapoptóticos como Bcl-2 de la vía intrínseca, que impide la liberación del citocromo C de la mitocondria. Recientemente, se ha visto que también puede activar genes antiapoptóticos como FLIP, A20 Y GADD45 β .

LA ACTIVACIÓN Y LA FUNCIÓN DE NF-κB

EL factor nuclear κB (NF-κB) fue el primer factor de transcripción específico identificado en linfocitos B. Su función en estas células es activar el gen de la cadena ligera κ de las inmunoglobulinas (Ig-κB) por medio de la unión a una secuencia consenso formada por diez pares de bases (GGGACTTTCC) (Sen y Baltimore, 1986). Posteriormente, se encontró la existencia de motivos de unión, muy parecidos a la secuencia consenso en otros genes de células diferentes a los linfocitos, y que también son reconocidos y activados por NF-κB, a estos sitios se les llamo “sitios κB”. Esto vino a definir al factor nuclear κB como un factor de transcripción ubicuo detectado de forma inactiva casi en todas las células (Baldwin, 1996), cuya actividad involucra la regulación de una amplia variedad de genes (Miyamoto y Verma, 1995).

NF-κB es una proteína heterodimérica compuesta por diferentes combinaciones de miembros de la familia de factores de transcripción Rel. NF-κB forma una familia de proteínas que incluye a p50 (NF-κB 1), p52 (NF-κB 2), p65 (Rel A), c-Rel y RelB. Los miembros de la familia NF-κB han sido divididos en dos grupos: subunidades de clase 1 son aquellas que no poseen dominios de trans-activación (p50 y p52) y son producidos por sus precursores p100 y p105 respectivamente, subunidades de clase 2 que son aquellas que poseen el dominio trans-activador (Rel A, Rel B y c-rel) (fig 3).

Todos los miembros que constituyen esta familia se caracterizan por la presencia de un dominio común conservado llamado RHD (Rel Homology Domain). El dominio RHD tiene varias funciones: 1. a través de él, los miembros de esta familia se unen y forman homodímeros como p50/p50 o heterodímeros como p50/p65 o

p52/p65, las formas más comunes están constituidas por los heterodímeros (Baldwin, 1996, Ballard et al, 1992). 2. Les permite unirse al DNA, 3. Contiene la señal de localización nuclear y 4. Es el sitio de unión para los inhibidores: los I_KB (Chen et al, 1999 y Ghosh, 1998).

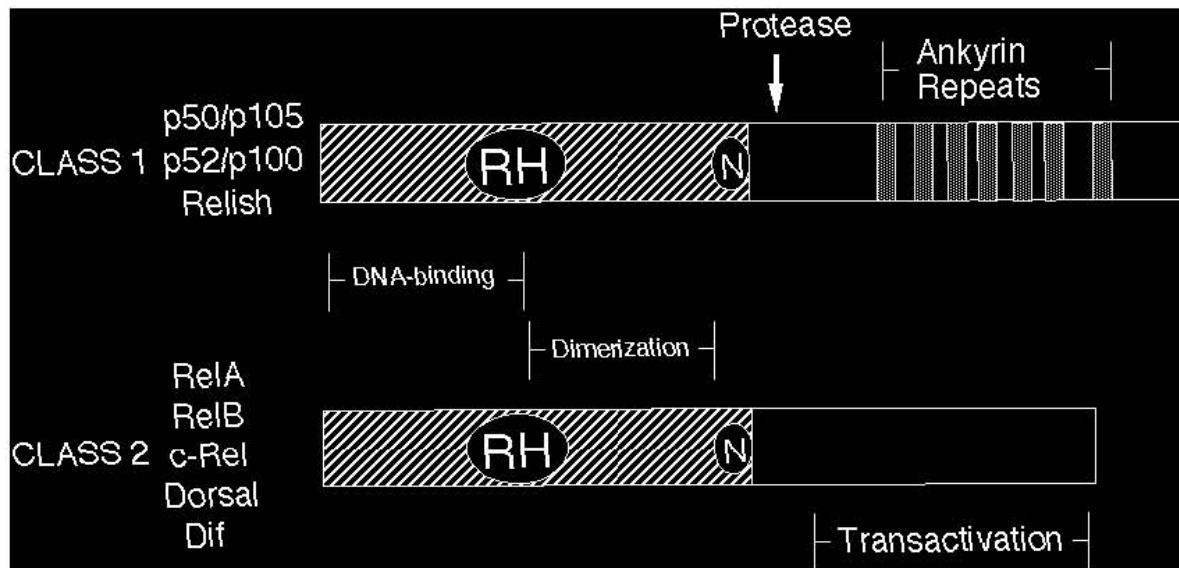


Figura 3. Clasificación de las proteínas del NF-κB.

La actividad del NF-κB depende de su localización celular. Los dímeros de NF-κB son secuestrados en el citoplasma de células no estimuladas vía interacciones no covalentes a través del dominio RHD, por una clase proteínas llamadas I_KBs, con las que forman un complejo trimérico inactivo. Las señales ambientales que activan NF-κB promueven la degradación del inhibidor I_KB α a través de la fosforilación en sitios específicos y hace que el dímero del NF-κB sea liberando, de tal modo que se transloca al núcleo y ejerce su actividad biológica como factor de transcripción. (Tomado de Gilmore et al, 1996)

LOS INHIBIDORES DE NF- κB (I_KBs)

Los I_KBs originalmente fueron identificados como factores que inhiben la actividad de NF-κB por interacción proteína-proteína por Baeuerle y Baltimore en 1988. Los I_KB constituyen una familia de al menos 7 miembros: I_KB α , I_KB β , I_KB γ , I_KB ϵ , p105, p100 y Bcl-3, los 7 están involucrados en el control de la activación de NF-κB. (Baldwin 1996 ; Ballard et al 1992, Bours et al, 2000). Estas proteínas inhibitorias contienen motivos conservados de ankirina (6 o más repetidos con secuencias de 30-33 aa) por medio de los cuales interactúan con los dominios RH de NF-κB. Poseen también un dominio regulador N-terminal que contienen los sitios de fosforilación y un dominio C-terminal que a su vez contiene un motivo PEST (fig 4). Los I_KB s se unen a los dímeros de NF-κB y estéricamente bloquean la función de su señal de localización nuclear, lo que permite su retención en el citoplasma. Para que NF-κB tenga acceso a su sitio de acción, el núcleo, el complejo NFκB/I_KB debe ser disociado a través de la fosforilación de su inhibidor. Sin embargo, este proceso que en primera instancia parece sencillo, requiere la participación interactiva, también guiada por procesos de fosforilación, de proteínas citoplásmicas que se encuentran río arriba en la vía de activación de NF-κB.

Los I_KBs mejor estudiados son α y β , ambos se fosforilan en respuesta a diferentes estímulos en los residuos de serina: S32 y S36. Una vez que los I_KBs se han fosforilado se da un proceso de ubiquitinación y de degradación en el proteosoma. Este mecanismo activa a NF-κB, ya que se descubre la señal de localización nuclear y permite al dímero ser translocado al núcleo, cuando queda de forma libre está listo para unirse a promotores de genes con sitios de unión κB

e iniciar la transcripción de los mismos (Barnes, 1997, Chen et al 1999, Ghosh 1998, Thurberg, 1998).

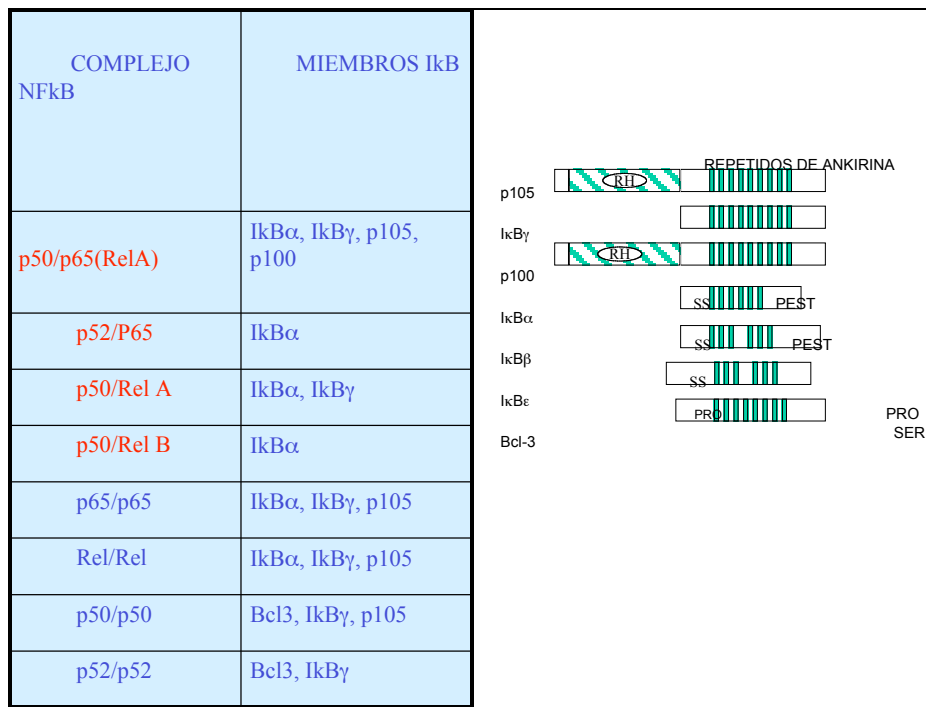


Figura 4. Miembros que constituyen la familia de NF- κ B y la familia de los I kB. En la primera columna se muestran todas las posibles uniones de los diferentes miembros de NF- κ B a través de su dominio RH que les permite formar diferentes complejos, heterodímeros (en rojo) u homodímeros (en azul).

La segunda columna muestra los inhibidores específicos para cada uno de los dímeros de NF- κ B. En la tercera columna aparece la estructura general de las proteínas I kB que se caracterizan por tener motivos formados por varios repetidos de ankirina, p105 y p100 son los precursores de las proteínas p50 y p52, respectivamente. Figura tomada de Miyamoto y Verma, 1995.

Un paso crucial en la activación de NF κ B es la fosforilación de los I kB que se lleva a cabo cuando los inhibidores son reclutados en el complejo I kB cinasa

(IKK). I κ B cinasa es un complejo multimérico de 700-900 kDa (Chen et al 1996). El complejo está constituido por dos sub.-unidades catalíticas (IKK1/IKK α e IKK2/IKK β) (Mercurio et al 1997, Zandi et al 1997), por el modulador esencial de NF- κ B (NEMO) (Yamaoka et al, 1998) ó IKK γ , (Rothwarf et al, 1998, Karin, 1999) y por la proteína 1 asociada a IKK (Mercurio et al, 1999). Además puede utilizar alternativamente las sub-unidades IKK ϵ , IKKi (Peters et al, 2000) (Fig. 5). Para que el complejo IKK pueda funcionar requiere ser activado por la cinasa inductora de NF- κ B (NIK) y por MEKK1 de la familia de las MAP3K (Ling, et al 1998, Li et al, 1998) entre otras. Ver figura 5.

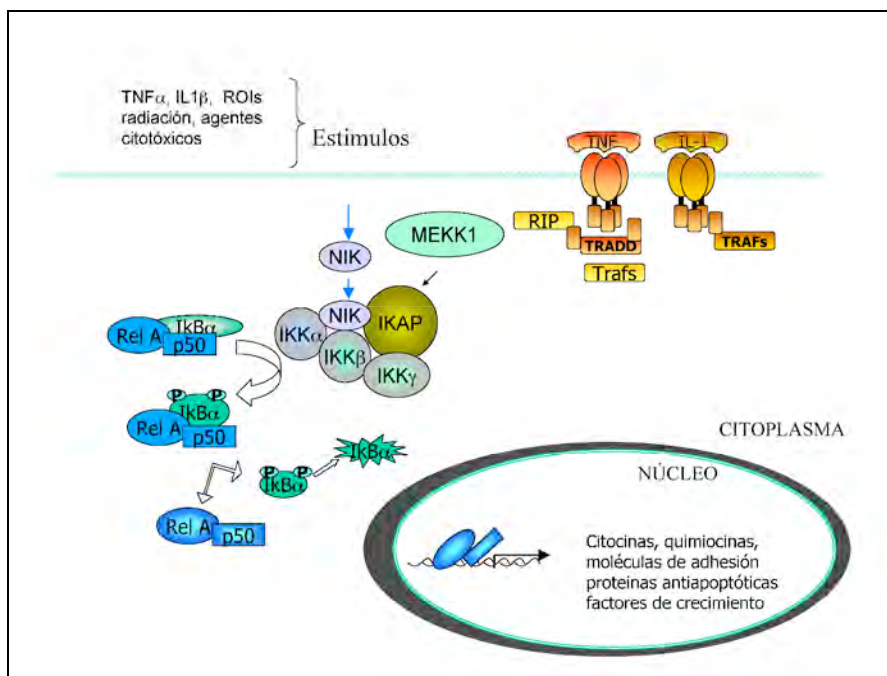


Figura 5. Activación de NF- κ B por TNF α o IL-1. Una vez que se lleva a cabo la interacción de la citocina con el receptor, proteínas cinasas adaptadoras intermedias como NIK o MEKK1 y probablemente otras más, permiten la fosforilación de complejo multimérico IKK para que el inhibidor I κ B sea degradado rápidamente por el proteosoma.

Son numerosos los estímulos que causan la translocación de NF κ B al núcleo, estos incluyen la presencia de lipopolisacaridos (LPS), activadores de proteína cinasa C, radiación ultravioleta, virus, citocinas, estrés oxidativo entre otros (Baeuerle y Henkel 1994). Una vez dentro del núcleo NF- κ B activa genes como las interlucinas 2, 6 y 8, el factor de necrosis tumoral alfa (TNF α), el interferón β , la enzima inducible óxido nítrico sintasa (iNOS), metaloproteasas, ciclo oxigenasa 2 y diversas moléculas de adhesión (ICAM1, VCAM1 y E-selectina), (Baeuerle y Henkel, 1994, Baldwing, 1996).

Células como leucocitos, células endoteliales, células de músculo liso, fibroblastos y cardíocitos responden a citocinas pro inflamatorias por activación de NF- κ B (Baldwing, 1996). Adicionalmente, NF- κ B específicamente en corazón es de gran relevancia ya que ha sido involucrado en varias cardiopatías (ver artículo de revisión en el Apéndice A).

EL NF- κ B Y LOS CARDIOCITOS

Como ya ha se ha venido discutiendo, el movimiento de NF- κ B hacia el núcleo, es un requisito para la supervivencia de diversos tipos celulares ante determinados estímulos o señales de estrés. En el miocardio, los dos tipos de condiciones de estrés más comunes en el adulto son los que se relacionan con el estrés oxidativo y la sobrecarga. Recientemente, ha crecido en interés el estudio de las respuestas que generan en la célula tales condiciones, usando como modelo “in vitro” cultivos primarios de cardíocitos neonatos. Los avances apuntan en ambos casos hacia

una participación activa de NF-κB en la supervivencia y el condicionamiento. Ver figura 1.

Un buen ejemplo de lo anterior es el caso de la cardiotrofina. Se sabe que ante la falta de oxigenación del miocardio (hipoxia), es necesario montar una respuesta que evite la activación del programa de muerte en los cardíocitos y que uno de los efectores de esta respuesta anti-apoptótica es una citocina liberada de forma autócrina llamada cardiotrofina 1. En el estudio de Craig y colaboradores (2001) realizado con cardíocitos de rata sometidos a hipoxia, se mostró que la señal anti-apoptótica mediada por la cardiotrofina requiere la translocación de NF-κB. La cardiotrofina, al igual que otras citocinas de su tipo, transduce su señal a través del receptor común gp130 y puede activar a las vías de la ERK (extracellular regulated kinase), de la p38 MAPK (mitogen-activated protein kinase) y de la proteína cinasa B o Akt de forma independiente. El uso de inhibidores específicos de cada una de las vías demostró que cada una de ellas es parcialmente responsable del incremento total en los niveles de NF-κB en el núcleo de cardíocitos en cultivo. Este efecto sumado se ve disminuido al impedir la translocación de NF-κB mediante el uso de una forma mutada de IκB (impide la liberación del dímero de NF-κB y permanece inactivo en el citoplasma) evidenciando la asociación de las tres vías con la respuesta protectora mediada por dicho factor.

El efecto protector de NF-κB en los modelos *in vitro*, sin embargo, parece no restringirse a las señales positivas de supervivencia como en el caso de la cardiotrofina; también actúa como mediador de la respuesta anti-apoptótica en el

caso de señales típicamente pro-apoptóticas como el TNF α . Por ejemplo, en cardíocitos ventriculares cultivados, el efecto apoptótico de TNF α más cicloheximida se ve aumentado por la presencia de una forma mutada de I κ B α (Mustapha et al, 2000) o bien por el uso de un inhibidor de la actividad del proteasoma (Bergmann et al, 2001). En ninguno de los dos casos se conoce cuál es el mecanismo por el cual NF- κ B promueve la supervivencia. La transcripción de algunos genes de supervivencia que contienen elementos de unión para NF- κ B en sus promotores es la idea más apoyada, sin embargo, se ha demostrado que la activación de NF- κ B, en cardíocitos, no modifica los niveles celulares de los candidatos más fuertes como las IAPs (inhibitor of Apoptosis Protein) 1 y 2 ni los de Bcl-2 o Bcl-xL (Bergmann et al, 2001). Esta evidencia no descarta del todo la posible participación de moléculas como Bcl-2 en el efecto protector, aunque es posible que NF- κ B no ejerza su efecto en un nivel río arriba, sino río abajo como sugieren los experimentos del grupo de Kirshenbaum en los que se ha observado que la transfección de Bcl-2 disminuye los niveles de I κ B α y en consecuencia favorece un incremento de NF- κ B en el núcleo (de Moissac et al, 1999).

La otra condición relevante en donde se ha observado la participación de NF- κ B es en la hipertrofia cardíaca inducida por estímulos de hipertrofia endógenos como la angiotensina II, la fenilefrina y la endotelina 1. Se ha demostrado que estos agonistas provocan una estimulación de la actividad de NF- κ B que depende de la degradación de las proteínas I κ B α y la activación del complejo IKK. Tal activación es necesaria para la producción de dos de los principales marcadores del fenotipo hipertrófico que son la producción del factor natriurético atrial y el incremento en el

tamaño de los cardíocitos. Y de hecho, la sola sobre-expresión de las subunidades p65 o c-Rel provoca por sí misma un incremento en el tamaño celular (Purcell et al, 2001).

Es importante destacar que la inducción de la hipertrofia también puede ocurrir por estimulación con TNF α en cardíocitos aislados y está mediada por la activación de NF- κ B a través de la generación de especies reactivas de oxígeno (ROS) (Higuchi et al, 2002).

Tratar de extrapolar el papel que desempeña NF- κ B in vitro a lo que ocurre in vivo resulta muy complicado, aunque no se descarta del todo, porque el resultado ya no se limita a lo que está ocurriendo en el cardíocito como una célula individual, el resultado es a nivel global en el corazón como órgano en su conjunto y como tal involucra otros tejidos cardíacos.

EL NF- κ B Y EL CORAZÓN

NF- κ B parece jugar un papel clave en algunas patologías cardíacas como son: daño por isquemia-reperfusión, infarto congestivo cardíaco, síndromes coronarios agudos, rechazo de transplante, angina de pecho, hipertrofia y aterosclerosis (Valen et al 2001). En algunas de ellas parece jugar un papel protector mientras que en otras parece causar daño severo al corazón. Sin embargo, se desconoce si está presente durante el desarrollo embrionario cardíaco y si tiene alguna importancia para la cardiogénesis.

LA PARTICIPACIÓN DE NF-κB EN LA APOPTOSIS

Como hemos visto NF-κB es un factor de transcripción que regula una amplia gama de genes, principalmente genes de la respuesta inflamatoria, pero también ha sido implicado en la iniciación y la progresión de varias enfermedades como cáncer, artritis autoinmune, glomerulonefritis, asma, fibrosis pulmonar, choque séptico, sida y enfermedades cardivasculares (Barnes et al 1997, Chen et al 1999, Ghosh et al 1998). NF-κB es un factor de transcripción peculiar, cuya función biológica en relación con la apoptosis va a depender del modelo con el que se esté trabajando ya que en algunos actúa promoviendo la apoptosis, y en otros, en la mayoría actúa evitándola. Sin lugar a dudas para nosotros en este trabajo NF-κB tendría una participación destacada en la protección contra la apoptosis; éstos son algunos ejemplos de ello, donde participa como agente citoprotector. Las células carentes de NF-κB son más sensibles a las señales pro-apoptóticas que aquellas que lo expresan normalmente (Barkett y Gilmore, 1999); células embrionarias de hígado carentes de rel A (p65) son susceptibles a apoptosis masiva (Tanaka et al 1999; Beg et al, 1995); el TNF dispara la apoptosis en macrófagos y fibroblastos de ratón carentes de NF-κB (Beg y Baltimore 1996); la inducción de la apoptosis en células de hepatoma de rata esta asociada a un decremento de NF-κB (Marianneau et al 1997); en células de cáncer de pulmón, colon y de ovario la activación de NF- κB determina la sensibilidad de TNF a la apoptosis (Mayo y Baldwing 2000); NF-κB protege de la apoptosis a hepatocitos, y células embrionarias (Bellas et al 1997); y finalmente, en

fibroblastos y células de bazo de pollo NF-κB suprime la apoptosis inducida por la caspasa 1 a través de XIAP1 (Van den Hoff et al 2000).

EL PAPEL DE NF-κB Y LA PROTECCIÓN CONTRA LA APOPTOSIS EN CARDIOCITOS

Son tres las evidencias que apoyan la idea de que NF-κB juega un papel fundamental en la protección contra la apoptosis en cardíocitos *in vitro*.

1. La activación de NF-κB es crucial para suprimir la muerte celular programada inducida por TNF α en cardíocitos embrionarios *in vitro* (de Moissac et al, 1998).
2. La disminución de los niveles de I κ B α en cardíocitos ventriculares que expresan BCL-2 los protege contra la apoptosis (Mustapha et al 2000).
3. La función antiapoptótica de BCL-2 se ve afectada en células donde no se puede activar NF-κB (Bergmann et al 2001).

EL CORAZÓN DE EMBRÍÓN DE POLLO COMO MODELO PARA ESTUDIAR LA APOPTOSIS *IN VIVO* Y LA PARTICIPACIÓN DE NF-κB

Durante el desarrollo embrionario de los vertebrados una de las primeras estructuras en aparecer es el corazón cuyo desarrollo es muy parecido en todas las especies de este grupo.

Uno de los modelos mejor caracterizados para llevar a cabo estudios sobre el desarrollo cardiaco es el embrión de pollo, porque se conoce con gran detalle su descripción, gracias a los estudios realizados ya desde 1951 por Hamburger y

Hamilton y a una amplia revisión de la apoptosis a través de todas las etapas del desarrollo cardiaco (Martinsen 2005).

El modelo de embrión de pollo ofrece grandes ventajas para realizar estudios sobre desarrollo cardiaco por diversas razones. La primera y quizá la más importante, por su fácil abordaje ya que ha diferencia de los mamíferos, no está en el interior del útero lo que permite realizar experimentos *in vivo* con un mínimo de invasión sin alterar su micro-ambiente, lo cual es de suma importancia en los estudios de normalidad. Adicionalmente, su manejo y manipulación es relativamente simple, mientras que su costo es significativamente bajo lo que permite incluir un número de muestras lo suficientemente grande por experimento lo que se traduce en un número también grande de individuos para ser analizados estadísticamente.

PLANTEAMIENTO DEL PROBLEMA

Por procesos de remodelación el corazón adquiere su conformación funcional final como un órgano de cuatro cámaras, con tracto de entrada y salida. Uno de los procesos fisiológicos y morfológicos importantes durante su remodelación es la apoptosis, siendo la del tracto de salida una de las zonas del corazón que mayormente sufre procesos de remodelación por apoptosis, su mayor actividad apoptótica se da durante los estadios 28-30 de HH del desarrollo embrionario, pudiéndose observar focos apoptóticos en esta región cardiaca (Cheng et al 2002)

Después de conocer que el tracto de salida es una de las zonas importantes del corazón donde se lleva a cabo la apoptosis la pregunta sigue siendo, ¿como se

Hamilton y a una amplia revisión de la apoptosis a través de todas las etapas del desarrollo cardiaco (Martinsen 2005).

El modelo de embrión de pollo ofrece grandes ventajas para realizar estudios sobre desarrollo cardiaco por diversas razones. La primera y quizá la más importante, por su fácil abordaje ya que ha diferencia de los mamíferos, no está en el interior del útero lo que permite realizar experimentos *in vivo* con un mínimo de invasión sin alterar su micro-ambiente, lo cual es de suma importancia en los estudios de normalidad. Adicionalmente, su manejo y manipulación es relativamente simple, mientras que su costo es significativamente bajo lo que permite incluir un número de muestras lo suficientemente grande por experimento lo que se traduce en un número también grande de individuos para ser analizados estadísticamente.

PLANTEAMIENTO DEL PROBLEMA

Por procesos de remodelación el corazón adquiere su conformación funcional final como un órgano de cuatro cámaras, con tracto de entrada y salida. Uno de los procesos fisiológicos y morfológicos importantes durante su remodelación es la apoptosis, siendo la del tracto de salida una de las zonas del corazón que mayormente sufre procesos de remodelación por apoptosis, su mayor actividad apoptótica se da durante los estadios 28-30 de HH del desarrollo embrionario, pudiéndose observar focos apoptóticos en esta región cardiaca (Cheng et al 2002)

Después de conocer que el tracto de salida es una de las zonas importantes del corazón donde se lleva a cabo la apoptosis la pregunta sigue siendo, ¿como se

inicia la apoptosis y cuales son los mecanismos moleculares que la regulan? Sin embargo, preguntas interesantes son ¿como dentro de una misma zona podemos encontrar al mismo tiempo focos apoptóticos y cardíocitos adyacentes resistentes a estas señales de muerte?, ¿Cuáles son esas señales intracelulares que les permiten sobrevivir? ¿Que factores de transcripción toman ese papel activo en este proceso?, las cuales se plantean como objetivos primordiales del presente proyecto.

Por otra parte durante la cardiogénesis se desconoce el momento de aparición del factor de transcripción NF-κB, tampoco se sabe si su papel es relevante durante la apoptosis del corazón en desarrollo. Nosotros proponemos que este factor de transcripción juega un papel activo en la protección contra la apoptosis en el tracto de salida del corazón de embrión de pollo, por lo tanto, las células que no se mueren en la periferia a las zonas apoptóticas, o cardíocitos adyacentes a los focos apoptóticos son células que están expresando NF-κB y se protegen de la apoptosis.

HIPÓTESIS

NF-κB es un factor de transcripción ubicuo y sus niveles de activación se ven aumentados solo en los cardíocitos adyacentes a los focos apoptóticos generando citoprotección en la zona del tracto de salida del corazón de embrión de pollo en estadios 28-30 de HH.

OBJETIVO GENERAL

Localizar zonas de actividad transcripcional para NF-κB en el tracto de salida de corazones de embrión de pollo de estadios 22-30 de HH y determinar su posible participación previniendo procesos de apoptosis.

OBJETIVOS PARTICULARES

1. Desarrollar un sistema reportero de expresión con sitios κB unidos al cDNA de la proteína verde fluorescente (GFP) en dos vectores de transferencia, uno plasmídico y otro adenoviral, que permita rastrear la actividad transcripcional de NF-κB *in vivo*.
2. Localizar zonas apoptóticas y zonas de actividad de NF-κB (citoprotegidas) en los cardíocitos adyacentes a los focos apoptóticos del tracto de salida.
3. Inhibir farmacológicamente la función y la expresión de NF- κB *in vivo* con Bay 11-7085.

La descripción de materiales y método y resultados, se presentan en los artículos 1 y 2 que se anexan en el siguiente apartado, después de ellos se da una discusión de manera global al trabajo y se añade una conclusión. Cabe mencionar que además se incluye en el apéndice A una revisión sobre el papel del factor de transcripción NF-κB en la célula cardíaca, el cual es un refuerzo al marco teórico que sustenta el presente proyecto.

CORRECCION ARTÍCULO 1: La figura 4 del artículo (corazones alterados) corresponde a la gráfica de barras y la foto de los corazones alterados es en realidad la figura 5. Los pies de figura quedarían de la siguiente manera.

Figure 4. Dose-dependent effects of Bay 11-7085 on incidence of heart alterations. (A) Injection of vehicle alone produced no external or internal effects on the morphological structure of a chick embryo heart. Panels (B-F) show different kind of alteration in chicken embryo hearts injected with Bay 11-7085. Alterations were mainly seen at the outflow tract (OFT) and it are showed with arrows, including IVC (B), great arteries (C), brachiocephalic truncus absence (D), brachiocephalic truncus absence (E1), DORV (E2), IVC (E3), subvalvular stenosis (F1) myocardial right ventricle thickness (F2).

Figure 5. Morphological alterations induced by inactivation of NF-κB by the specific inhibitor Bay 11-7085. A) Embryo hearts injected with Vehicle 1 (PBS + 8% DMSO) or 2 (PBS + 12% DMSO); B) embryo hearts injected with Bay 11-7085. Dark bars represent the percentage of hearts with some morphological alteration; white bars show the percentage of normal hearts..

1 NF- κ B signaling blockade by Bay 11-7085 during early cardiac 2 morphogenesis induces alterations of the outflow tract in chicken 3 heart

4 S. Hernández-Gutiérrez · L. García-Peláez ·
5 A. Zentella-Dehesa · M. Ramos-Kuri ·
6 P. Hernández-Franco · F. Hernández-Sánchez · E. Rojas

7 Published online: xxx
8 © Springer Science + Business Media, LLC 2006

9 **Abstract** Nuclear factor κ B (NF- κ B) is a pleiotropic
10 transcription factor implicated in the regulation of diverse
11 morphologic cardiac alterations, for which the p50 and p65
12 subunits form the most prevalent dimeric form in the heart.
13 NF- κ B is inactivated by proteins of the I κ B family, which
14 trap it in the cytoplasm. It is not known whether NF- κ B influences
15 cardiac development. **Objective:** Here we investigated
16 the role of NF- κ B in regulating transcription in chicken heart
17 morphogenesis. Specifically, we tested whether NF- κ B activation
18 is required for normal formation of the outflow tract
19 (OFT) during a critical stage of heart development. **Methods**
20 and **results:** We designed a reporter vector with κ B binding
21 sites for Rel family members in the promoter, upstream
22 from the cDNA of Green Fluorescent Protein (GFP). This
23 construct was injected directly into the developing heart
24 of chicken embryos. NF- κ B activation was subsequently
25 inhibited by administration of the specific pharmacological
26 agent Bay 11-7085. We found that forced NF- κ B expression

27 was associated with multiple congenital cardiac alterations
28 of the OFT (mainly CIV, DORV and great arteries stenosis).
29 **Conclusion:** These findings indicate that blockade of NF- κ B
30 induces apoptosis and is an important factor in the development
31 of OFT during cardiogenesis. However, it remains unknown
32 which members of the Rel family are relevant in this process.

33
34 **Keywords** NF- κ B · Bay11-7085 · Chick heart
35 development · Green Fluorescent Protein · Cardiac
36 alterations

37 Introduction

38 Nuclear factor κ B (NF- κ B) is a pleiotropic transcription factor
39 involved in the regulation of several biological phenomena such as
40 apoptosis, cell survival and growth, mitosis, differentiation and immune response, as well as cellular response to
41 oxidative stress, hypoxia and ischemia in different organs and tissues. In the heart, NF- κ B has been implicated in
42 several pathologies, such as ischemic and reperfusion injury [1], congestive heart failure [2], transplant rejection, [3]
43 angina pectoris [4], dilated cardiopathy [5], and atherosclerosis [6]. NF- κ B also appears to be involved in congenital
44 diseases such as Fallot's tetralogy, defects in the ventricular septum and pulmonary artery problems [7, 8]. Furthermore,
45 NF- κ B has been shown to cause *in vitro* cardiomyocyte hypertrophy [9].

46 Involvement of NF- κ B in heart physiology regulation is complex. In addition to being activated by the canonic pathway mediated by cytokines, NF- κ B is also activated by several signal transduction cascades associated with the development of hypertrophy and of response to oxidative

S. Hernández-Gutiérrez · A. Zentella-Dehesa · E. Rojas (✉)
Departamento de Medicina Genómica y Toxicología Ambiental,
Instituto de Investigaciones Biomédicas,
UNAM, México D.F. 04510
e-mail: emilior@servidor.unam.mx

S. Hernández-Gutiérrez · M. Ramos-Kuri · P. Hernández-Franco ·
F. Hernández-Sánchez
Escuela de Medicina, Laboratorio de Biología Molecular
Universidad Panamericana

L. García-Peláez
Facultad de Medicina, Departamento de Biología Celular y
Tisular, UNAM

A. Zentella-Dehesa · F. Hernández-Sánchez
Departamento de Bioquímica, Instituto Nacional de Ciencias
Medicas y Nutrición "Salvador Subirán"

stress [10], as well as by pro-apoptotic and anti-apoptotic signals [11]. Moreover, inhibition of NF- κ B by I κ B α has been shown to result in some cardiac pathologies after an insult of using transgenic mice [12–16].

Many postnatal heart diseases are often associated with pre-existing congenital alterations in prenatal heart development. Such congenital heart defects are relatively common; indeed among pediatric patients they are found twice as frequently as cancer [17]. More than 90% of the heart ailments in children are due to known congenital defects and of all congenital heart defects, more than 30% are primary defects of the outflow tract (OFT) [18] (conus and truncus arteriosus), which is the origination of the ventricular infundibulum (outlet ventricles) and the great arteries. The role of NF- κ B has been determined in several heart pathologies and its presence during some stages of cardiac development has been shown. Nevertheless, its participation in the regulation of heart morphogenesis and its involvement in congenital cardiopathies remain unknown. Therefore the present work investigated if NF- κ B is a key factor in chicken heart morphogenesis. For this purpose the pharmacological agent Bay 11-7085, an IKK inhibitor, was employed to prevent NF- κ B translocation to the nucleus where it exerts its biological activity.

Materials and methods

Experiments were conducted in chicken (*Gallus gallus*) embryos of the White Leghorn strain from ALPES SA de CV (Mexico). Fertilized chicken embryos were incubated at 37.5°C and 86–87% humidity in a forced-draft incubator between stages 23–25 as defined by Hamburger and Hamilton (HH) [19].

Constructions generation of pNF- κ B -GFP reporter plasmid

We generated a NF- κ B reporter vector with green fluorescent protein (GFP-cDNA). The promoter region of this reporter vector contained the minimal TK elements and four consensus binding sites for the transcription factor NF- κ B joined to GFP cDNA. Primers were designed to include HindIII and XbaI restriction sites (forward 5' aagcttccaaatggtgagcaaggcgag 3' and reverse 5' tctagattttacatcgctgtccatgccgag 3') (Fig. 2(A)). The GFP cDNA of the pEGFP-C1 plasmid was amplified by PCR. The 744 bp amplified fragment was subcloned using the same HindIII and XbaI restriction sites, and the skeleton of the pNF- κ B-Luc plasmid (both plasmids from Clontech) and the new reporter vector pNF- κ B-GFP were generated. The presence of NF- κ B binding sites was verified by restric-

tion enzyme digestion and automated sequencing, and it was tested in cardiomyocytes isolates.

Generation of adenovirus recombinant

The plasmids to generate a recombinant replication-defective adenovirus were a gift from Dr. Vogelstein from Howard Hughes Institute, and the construction were made following the methodology described in [20, 21]. The overall strategy developed is diagrammed in Fig. 2 and involved three steps. First, the fragment with NF- κ B sites and GFP from pNF- κ B-GFP was cloned into a pshuttle vector. Second, the resultant construction was cleaved with pme1 to linearize it and transformed together with a supercoiled adenoviral vector pAdEasy into *E. coli* strain BJ5183. Recombinants were selected with kanamycin and screened by restriction endonuclease digestion and automated sequencing. Third the recombinant adenoviral plasmid construct is cleaved with pac1 and transfected into packing cells (293 cell line), and after 5–7 days we obtained the adenoviral infective recombinant particles.

Cells and virus

293 cells were kept in cell culture dishes (Falcon 10 × 10 mm) or six plates dishes for virus titration; with DMEM (Invitrogen, USA) supplemented with 10% neonate bovine serum (Hi-clone, USA) and antibiotics (100 mg/ml streptomycine and 100 U/ml penicillin) (Invitrogen, USA), incubated at 37°C, 5% CO₂ and 100% humidity atmosphere. The selection of recombinant adenovirus strain was amplify in a cellular reactor and its titration as described [21] and we obtained an adenoviral concentration of 2 × 10⁸ pfus/ml.

In vitro expression assay

To detect transcriptionally active forms of NF- κ B, 20 chicken embryos at HH stages [23–25] (4 to 5 days incubation) were dissected under stereoscopic microscope (Zeiss, Axistar plus). The OFT was separated from the ventricles and placed in Eppendorf tubes with phosphate buffered saline solution (PBS) at 4°C. Cardiocytes were dispersed to generate primary cultures following the Eschenhagen [22] method with modifications. Hearts were washed twice with PBS and once with 0.25% trypsin and 0.1% EDTA (Gibco, USA). Subsequently, they were digested with trypsin/EDTA for 5 min at 37°C while being shaken gently. The digested samples were centrifuged. The resultant supernatant was discarded and the pellet was subjected to 3 digestion and incubation cycles with 0.1% collagenase in PBS for 5 min, until the tissue was completely digested. To the last incubation cycle, 1 U DNase/ml (Gibco, USA) was added. Isolated cells

164
165

166

167
168
169
170
171
172
173
174
175
176
177
178
179
180
181
182
183
184
185

186

187
188
189
190
191
192
193
194
195
196
197
198
199
200
201
202
203
204
205
206
207
208
209
210
211
212
213
214
215
216
217
218
219
220
221
222

223

224
225
226
227
228
229
230
231
232
233
234
235
236
237
238
239
240
241
242
243
244
245
246
247
248
249
250
251
252
253
254
255
256
257
258
259
260
261
262
263
264
265
266
267
268
269
270
271
272
273
274
275
276
277
278
279
280
281
282
283
284
285
286
287
288
289
290
291
292
293
294
295
296
297
298
299
300
301
302
303
304
305
306
307
308
309
310
311
312
313
314
315
316
317
318
319
320
321
322
323
324
325
326
327
328
329
330
331
332
333
334
335
336
337
338
339
340
341
342
343
344
345
346
347
348
349
350
351
352
353
354
355
356
357
358
359
360
361
362
363
364
365
366
367
368
369
370
371
372
373
374
375
376
377
378
379
380
381
382
383
384
385
386
387
388
389
390
391
392
393
394
395
396
397
398
399
400
401
402
403
404
405
406
407
408
409
410
411
412
413
414
415
416
417
418
419
420
421
422
423
424
425
426
427
428
429
430
431
432
433
434
435
436
437
438
439
440
441
442
443
444
445
446
447
448
449
450
451
452
453
454
455
456
457
458
459
460
461
462
463
464
465
466
467
468
469
470
471
472
473
474
475
476
477
478
479
480
481
482
483
484
485
486
487
488
489
490
491
492
493
494
495
496
497
498
499
500
501
502
503
504
505
506
507
508
509
510
511
512
513
514
515
516
517
518
519
520
521
522
523
524
525
526
527
528
529
530
531
532
533
534
535
536
537
538
539
540
541
542
543
544
545
546
547
548
549
550
551
552
553
554
555
556
557
558
559
560
561
562
563
564
565
566
567
568
569
570
571
572
573
574
575
576
577
578
579
580
581
582
583
584
585
586
587
588
589
590
591
592
593
594
595
596
597
598
599
600
601
602
603
604
605
606
607
608
609
610
611
612
613
614
615
616
617
618
619
620
621
622
623
624
625
626
627
628
629
630
631
632
633
634
635
636
637
638
639
640
641
642
643
644
645
646
647
648
649
650
651
652
653
654
655
656
657
658
659
660
661
662
663
664
665
666
667
668
669
670
671
672
673
674
675
676
677
678
679
680
681
682
683
684
685
686
687
688
689
690
691
692
693
694
695
696
697
698
699
700
701
702
703
704
705
706
707
708
709
710
711
712
713
714
715
716
717
718
719
720
721
722
723
724
725
726
727
728
729
730
731
732
733
734
735
736
737
738
739
740
741
742
743
744
745
746
747
748
749
750
751
752
753
754
755
756
757
758
759
760
761
762
763
764
765
766
767
768
769
770
771
772
773
774
775
776
777
778
779
7710
7711
7712
7713
7714
7715
7716
7717
7718
7719
7720
7721
7722
7723
7724
7725
7726
7727
7728
7729
7730
7731
7732
7733
7734
7735
7736
7737
7738
7739
7740
7741
7742
7743
7744
7745
7746
7747
7748
7749
7750
7751
7752
7753
7754
7755
7756
7757
7758
7759
7760
7761
7762
7763
7764
7765
7766
7767
7768
7769
7770
7771
7772
7773
7774
7775
7776
7777
7778
7779
77710
77711
77712
77713
77714
77715
77716
77717
77718
77719
77720
77721
77722
77723
77724
77725
77726
77727
77728
77729
77730
77731
77732
77733
77734
77735
77736
77737
77738
77739
77740
77741
77742
77743
77744
77745
77746
77747
77748
77749
77750
77751
77752
77753
77754
77755
77756
77757
77758
77759
77760
77761
77762
77763
77764
77765
77766
77767
77768
77769
77770
77771
77772
77773
77774
77775
77776
77777
77778
77779
77780
77781
77782
77783
77784
77785
77786
77787
77788
77789
77790
77791
77792
77793
77794
77795
77796
77797
77798
77799
777100
777101
777102
777103
777104
777105
777106
777107
777108
777109
777110
777111
777112
777113
777114
777115
777116
777117
777118
777119
777120
777121
777122
777123
777124
777125
777126
777127
777128
777129
777130
777131
777132
777133
777134
777135
777136
777137
777138
777139
777140
777141
777142
777143
777144
777145
777146
777147
777148
777149
777150
777151
777152
777153
777154
777155
777156
777157
777158
777159
777160
777161
777162
777163
777164
777165
777166
777167
777168
777169
777170
777171
777172
777173
777174
777175
777176
777177
777178
777179
777180
777181
777182
777183
777184
777185
777186
777187
777188
777189
777190
777191
777192
777193
777194
777195
777196
777197
777198
777199
777200
777201
777202
777203
777204
777205
777206
777207
777208
777209
777210
777211
777212
777213
777214
777215
777216
777217
777218
777219
777220
777221
777222
777223
777224
777225
777226
777227
777228
777229
777230
777231
777232
777233
777234
777235
777236
777237
777238
777239
777240
777241
777242
777243
777244
777245
777246
777247
777248
777249
777250
777251
777252
777253
777254
777255
777256
777257
777258
777259
777260
777261
777262
777263
777264
777265
777266
777267
777268
777269
777270
777271
777272
777273
777274
777275
777276
777277
777278
777279
777280
777281
777282
777283
777284
777285
777286
777287
777288
777289
777290
777291
777292
777293
777294
777295
777296
777297
777298
777299
777300
777301
777302
777303
777304
777305
777306
777307
777308
777309
777310
777311
777312
777313
777314
777315
777316
777317
777318
777319
777320
777321
777322
777323
777324
777325
777326
777327
777328
777329
777330
777331
777332
777333
777334
777335
777336
777337
777338
777339
777340
777341
777342
777343
777344
777345
777346
777347
777348
777349
777350
777351
777352
777353
777354
777355
777356
777357
777358
777359
777360
777361
777362
777363
777364
777365
777366
777367
777368
777369
777370
777371
777372
777373
777374
777375
777376
777377
777378
777379
777380
777381
777382
777383
777384
777385
777386
777387
777388
777389
777390
777391
777392
777393
777394
777395
777396
777397
777398
777399
777400
777401
777402
777403
777404
777405
777406
777407
777408
777409
777410
777411
777412
777413
777414
777415
777416
777417
777418
777419
777420
777421
777422
777423
777424
777425
777426
777427
777428
777429
777430
777431
777432
777433
777434
777435
777436
777437
777438
777439
777440
777441
777442
777443
777444
777445
777446
777447
777448
777449
777450
777451
777452
777453
777454
777455
777456
777457
777458
777459
777460
777461
777462
777463
777464
777465
777466
777467
777468
777469
777470
777471
777472
777473
777474
777475
777476
777477
777478
777479
777480
777481
777482
777483
777484
777485
777486
777487
777488
777489
777490
777491
777492
777493
777494
777495
777496
777497
777498
777499
777500
777501
777502
777503
777504
777505
777506
777507
777508
777509
777510
777511
777512
777513
777514
777515
777516
777517
777518
777519
777520
777521
777522
777523
777524
777525
777526
777527
777528
777529
777530
777531
777532
777533
777534
777535
777536
777537
777538
777539
777540
777541
777542
777543
777544
777545
777546
777547
777548
777549
777550
777551
777552
777553
777554
777555
777556
777557
777558
777559
777560
777561
777562
777563
777564
777565
777566
777567
777568
777569
777570
777571
777572
777573
777574
777575
777576
777577
777578
777579
777580
777581
777582
777583
777584
777585
777586
777587
777588
777589
777590
777591
777592
777593
777594
777595
777596
777597
777598
777599
777600
777601
777602
777603
777604
777605
777606
777607
777608
777609
777610
777611
777612
777613
777614
777615
777616
777617
777618
777619
777620
777621
777622
777623
777624
777625
777626
777627
777628
777629
777630
777631
777632
777633
777634
777635
777636
777637
777638
777639
777640
777641
777642
777643
777644
777645
777646
777647
777648
777649
777650
777651
777652
777653
777654
777655
777656
777657
777658
777659
777660
777661
777662
777663
777664
777665
777666
777667
777668
777669
777670
777671
777672
777673
777674
777675
777676
777677
777678
777679
777680
777681
777682
777683
777684
777685
777686
777687
777688
777689
777690
777691
777692
777693
777694
777695
777696
777697
777698
777699
777700
777701
777702
777703
777704
777705
777706
777707
777708
777709
777710
777711
777712
777713
777714
777715
777716
777717
777718
777719
777720
777721
777722
777723
777724
777725
777726
777727
777728
777729
777730
777731
777732
777733
777734
777735
777736
777737
777738
777739
777740
777741
777742
777743
777744
777745
777746
777747
777

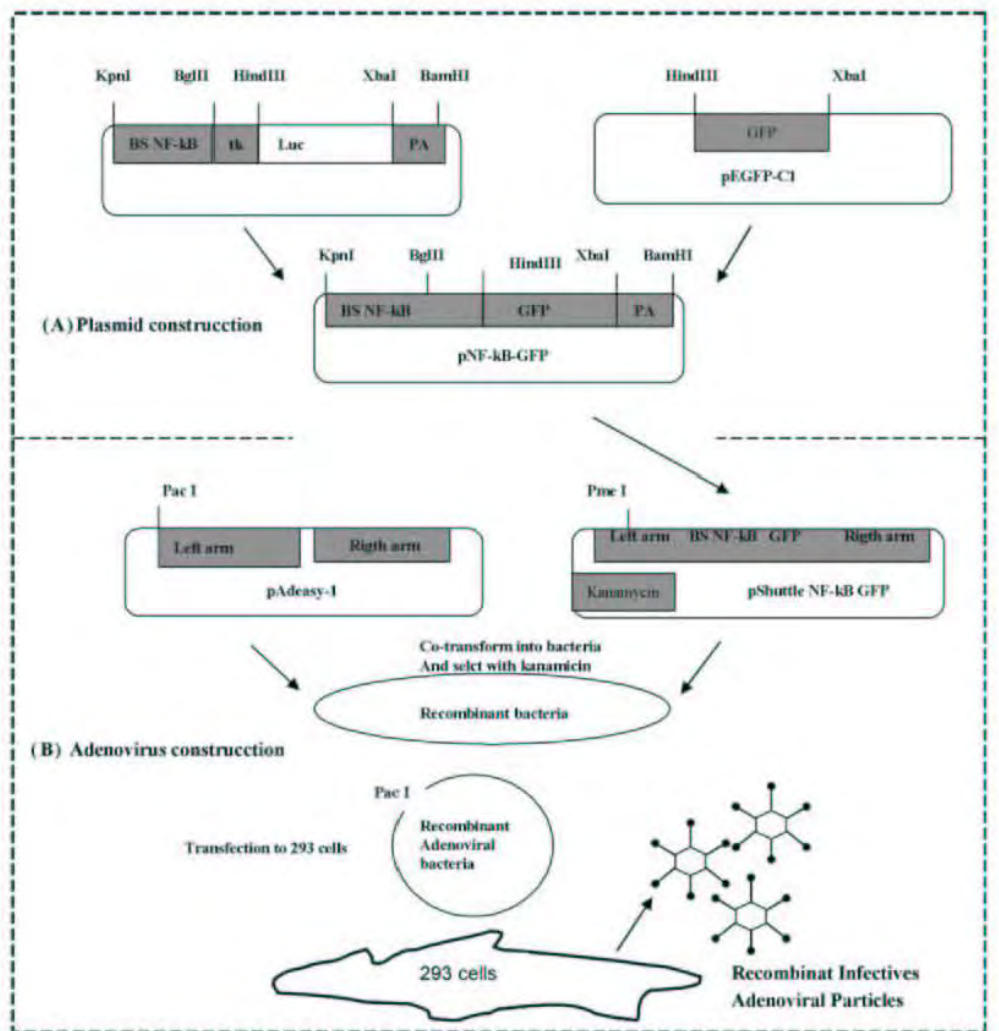
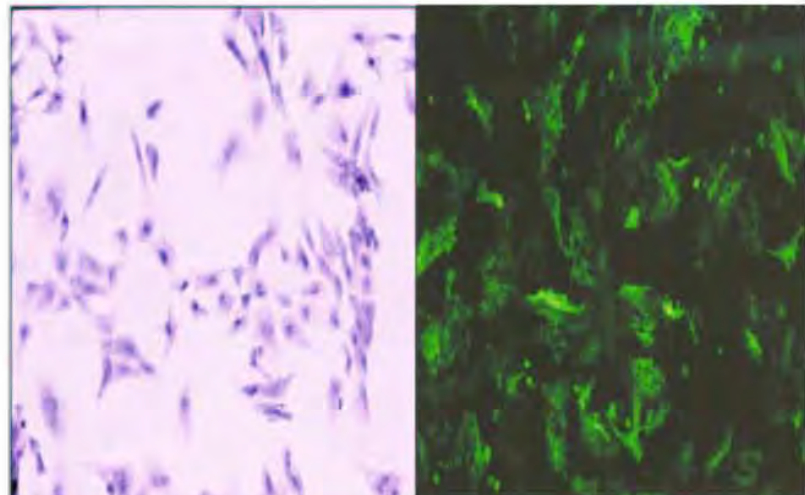


Fig. 1 Diagram of strategy designed for construction of the NF- κ B-GFP reporter vectors. (A) In a first step we constructed a plasmid with the NF- κ B binding sites joined to GFP cDNA. (B) In a second step we used

a system to generate a recombinant adenovirus, for which the plasmid constructed in panel A was used (for details check methodology)

Fig. 2 Reporter plasmid expression in isolated cardiocytes from primary cultures of chicken embryo heart. To verify the function of the pNF- κ B-GFP construct, isolated cardiocytes were transfected with the plasmid and left in serum-free medium for 24 h. NF- κ B activity was induced by TNF treatment. (A) non-stimulated cardiocytes. (B) GFP expression in response to TNF-mediated NF- κ B activation



were kept in cell culture dishes (Falcon 35 × 10 mm) with DMEM (Invitrogen, USA) supplemented with 5% neonate bovine serum (Hi-clone, USA) and antibiotics (100 mg/ml streptomycin and 100 U/ml penicillin) (Invitrogen, USA), incubated at 37°C, 5% CO₂ and 100% humidity atmosphere. Isolated cardiocytes were transfected with 2 µg of the pNF-κB-GFP plasmid with FUGENE (Roche Diagnostics, USA) following the manufacturer's instructions, or an infection with 100 moi of adenovirus particles alone or adenovirus plus bay 11-7085 (1.2 mM).

NF-κB induction experiments in cardiocytes were performed according to Bergmann's method [23]. Briefly, cells were stimulated for 24 h with 10 ng/ml TNFα, and 48 h later cells were observed with an epifluorescence microscope (Carl Zeiss Axioplan, 10×).

165 *In vivo* NF-κB expression

To examine *in vivo* NF-κB expression, an *in ovo* electroporation experiment was performed. To gain access to the embryo and expose the heart surface, a small window was opened on the shell and the surrounding extracellular membranes were removed. Once unveiled, the whole heart was exposed to the plasmid or adenovirus by a pericardial injection. Microinjection (0.5 µl of any vector or vehicle) was performed with a G-1 capillary micropipette from Narishige Co. LTD (Japan) under a stereoscopic microscope. In plasmid case, microinjection solution was a 2:1:1 mixture of pNF-κB-GFP plasmid (3–5 µg), mineral oil and china ink. Electroporation was subsequently carried out during which four 28-V, 35-ms pulses were delivered or an injection with 0.5 µl of adenovirus particles alone or 0.5 µl adenovirus plus 0.5 µl bay 11-7085 (1.2 mM) injected at the same time. The windows were sealed and eggs were incubated for 48 h, subsequently extracted, and whole heart was observed under an epifluorescence microscope (4× or 10×).

184 NF-κB inhibition

To resolve if NF-κB is a determinant of heart morphogenesis we blocked the phosphorylation of a biochemical event associated with NF-κB activation with the irreversible inhibitor Bay 11-7085 (Calbiochem, Germany). Forty embryos at stages 23–25 were prepared for microinjection as described above, and then the embryo's hearts were injected with 0.5 µl of 1.2 or 2.0 mM Bay 11-7085 (dissolved in dimethyl sulfoxide (DMSO)(SIGMA, Mexico) diluted in PBS). Once injected, eggs were sealed and returned to incubation, and the development of the injected embryos was allowed to continue for 6 d, until HH stages 34–36 when the fetal heart has partitioned. Later, the hearts were dissected for morphological analysis with a stereoscopic microscope. Embryos that died during the experiment were collected and

analyzed at the end of the experiment. Statistical analysis was done with the χ² test, n = 40 embryos. Comparisons with a p value < 0.05 were considered significant in all cases.

TUNEL assay

For TUNEL assay studies, hearts were fixed in 10% neutral buffered formalin, paraffin-embedded or frozen and sectioned in sagittal plan. The 5 µm serial sections were stained using the TUNEL technique as suggested by manufacturer's instructions from PROMEGA. The slices were mounted with Vectashield. Slides were observed under a laser scanning confocal microscope (Zeiss LSM 410; Axiovert 100, Zeiss 40× plan-Neofluor WD 13.5 mm, exitation lines 488 nm for green).

Results

To analyze the distribution of transcriptional active forms of NF-κB, we built and employed a pair of vectors such that the expression of the GFP-cDNA reporter transcript revealed only those cells with active forms of NF-κB.

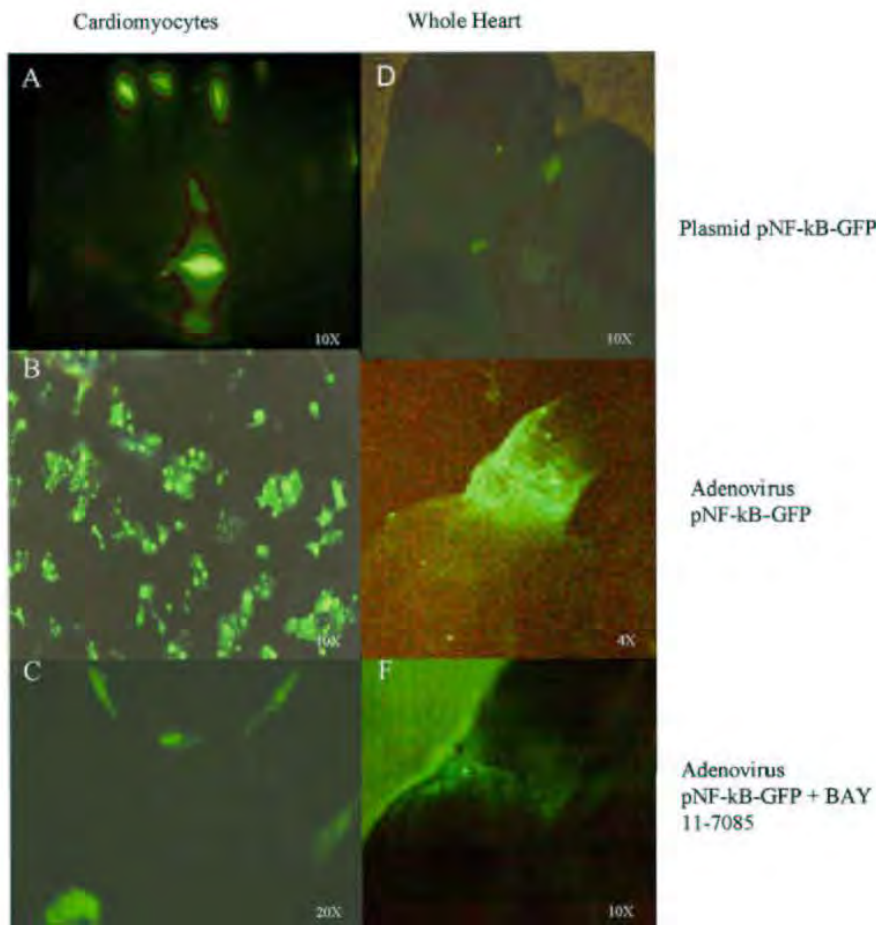
NF-κB expression

Cardiocytes were grown up in primary cultures from cells that were isolated from chicken embryo hearts (OFT and ventricles) transfected with the p NF-κB-GFP construct and treated with TNF-α. Cells expressed GFP in response to NF-κB activation (Fig. 2(A) and (B)), as Bergmann et al. [23] reported previously. This induction's experiment confirmed pNF-κB-GFP reporter functionality. When we compared in an *in vitro* assay the efficiency of transfection individually for both vectors, we found a 30–40% with the plasmid (Fig. 3(A)), while a 100% were for the adenovirus (Fig. 3(B)). The same plasmid and the adenovirus were used to indirectly locate the presence of transcriptionally active NF-κB *in vivo*, in microinjected electroporated or microinjected infected hearts. Forty-eight hours later, fluorescence was detected at the OFT region (Fig. 3(D) and (E)). We found better results in GFP expression when injected the hearts with the recombinant replication-defective adenovirus.

NF-κB inhibition

In order to investigate the inhibitory effect of Bay 11-7085 in GFP expression, which reveler the NF-κB presence, we culture cardiomyocytes *in vitro* with the inhibitor and we injected it in the heart at the same time that the adenovirus. The results obtained showed a diminished GFP expression in cardiomyocytes *in vitro* (Fig. 3(C)) as well as 7/15 hearts

Fig. 3 Vector reporter expression. The efficient of transfection between both vectors were comparison between an *in-vitro* (A and B) and an *in-vivo* (D and E) assay. The plasmid (D) and the adenovirus (E) were used to indirectly locate the presence of transcriptionally active NF- κ B in microinjected electroporated or microinjected infected hearts. We found better results in GFP expression when the hearts were injected with the recombinant replication-defective adenovirus. Forty-eight hours later, fluorescence was detected at the OFT region. The panel (C and F) shows the inhibitory effect of Bay 11-7085 in GFP expression



244 injected with bay 11-7085 showed a decrease in GFP expression in the OFT (Fig. 3(F)), 60–70% lower than hearts
245 injected with adenovirus alone (Fig. 3(D)). This experiment
246 confirmed bay 11-7085 as inhibitor of NF- κ B activity in the
247 OFT.

248 In other set of experiment to inhibit NF- κ B function, we
249 tested the *in vivo* effects of Bay 11-7085, its microinjection
250 altered morphology within the OFT zone of the heart, pre-
251 cisely in the region where the fluorescence of GFP appeared
252 when hearts were injected with the reporters vectors. Fig-
253 ure 4 shows the most severe drug-induced OFT alterations.
254 Fifty-two and 82% of hearts injected with 1.2 and 2.0 mM
255 Bay 11-7085, respectively, were afflicted with some type of
256 morphological alteration (Fig. (5) χ^2 p,s < 0.001 vs. control
257 sporadic defect rate).

258 Another consequence of the inhibition of the NFkB func-
259 tion results in the increase of cells on the OFT region,
260 which gone under apoptosis death. Figure 6 shows an in-
261 crease of labeled tunel cells in the embryos treated with Bay
262 11-7085.

Cardiac alterations

Table 1 summarizes the more frequent heart alterations caused by Bay 11-7085 treatment. Principally we observed intra-ventricle communication with outlet ventricular septal defect, subvalvular stenosis, and double outlet right ventricle, absence of left or right brachiocephalic trunk.

Discussion

The chicken embryo is an advantageous model for the study of heart development for several reasons. Firstly, it allows *in vivo* experiments to be carried out without altering the microenvironment. In addition, manipulation and handling of the embryo is relatively simple, while the cost is affordable enough to enable a large number of samples to be included per experiment. Moreover, a detailed description of chicken embryo development, as provided by Hamilton and Hamburger, has been available since 1951.

Fig. 4 Dose-dependent effects of Bay 11-7085 on incidence of heart alterations. (A) Embryo hearts injected with Vehicle 1 (PBS + 8% DMSO) or 2 (PBS + 12% DMSO); (B) embryo hearts injected with Bay 11-7085. Dark bars represent the percentage of hearts with some morphological alteration; white bars show the percentage of normal hearts.

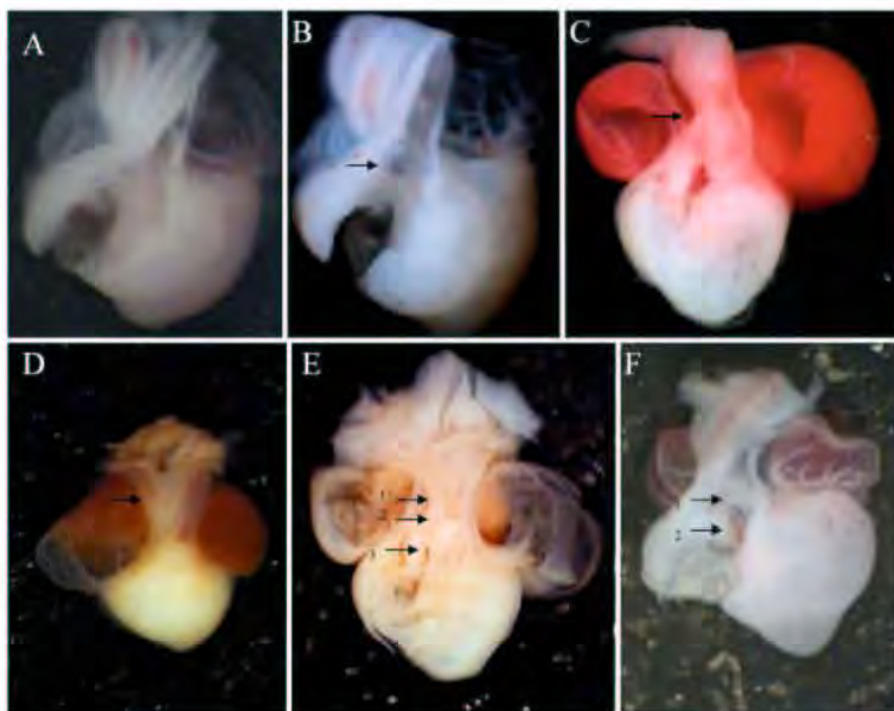


Table 1 Cardiac alterations induced by Bay 11-7085 during chicken heart development. Type of cardiac alterations caused by inhibition of NF- κ B activation during chicken embryo heart development. Embryos were injected with different concentrations of Bay 11-7085 and re-incubated for 6 days to allow development to conclude. After this period, embryos were sacrificed, and those that died during the experiment were collected ($n = 40$)

Type of alteration	Number of heart alterations	
	Bay 11-7085	Controls
Interventricular communication	17	8
Great arteries subvalvular stenosis	10	—
Double outlet right ventricle	7	2
Visceral ectopia	3	—
Interventricular communication at subpulmonary artery	2	—
Hypoplastic right ventricle	1	—
Ectopia cordis	1	—
Pericardial spills	1	—
Others	2	—

We studied the expression and function of NF- κ B during a stage of heart development that includes a critical time period for the morphogenesis of several heart structures, including growth of myocardial OFT, development of the OFT ridges, septation of the arteries of the proximal region and formation of the arterial valves. Our results showed that NF- κ B is actively expressed in the heart at HH stages 23–24, and that its pharmacological inhibition during these stages causes severe development abnormalities through an incre-

ment of apoptosis. The strategy was to inject a IKK specific pharmacological inhibitor directly into the developing heart to prevent IKK phosphorylation inhibiting the interaction between IKK and I κ B. Thus in the presence of this inhibitor NF- κ B remains inactive in the cytoplasm [24, 25]. Interestingly, when higher concentrations of Bay 11-7085 were used (data not shown), heart alterations and embryotoxicity were more evident, indicating that there are cytotoxic and probably unspecific effects of some pharmacological NF- κ B inhibitors [12]. It is worth noting that since NF- κ B is a ubiquitous transcription factor, it is certainly possible that diffusion of injected Bay 11-7085 could affect other organs. However, NF- κ B expression revealed by the reporter plasmid pNF- κ B-GFP (which shows consensus binding sites for p65/50) was localized to the same sites as the alterations and found to occur at precisely the same time (HH stages 23–24) as when NF- κ B activation blockade interfered with OFT development increasing the apoptosis rate. Thus these findings provide compelling evidence that altered NF- κ B expression contributes to the emergence of non-spontaneous heart alterations. In this respect in Fig. 7, a possible model of the events involved in the induction of apoptosis due to the blockade of NFKb is shown.

The morphological alterations that accompanied NF- κ B inhibition resembled commonly occurring human cardiopathies. The most frequent alterations found in our study were interventricular communication (IVC), double outlet right ventricle (DORV) and valvular and great arteries

280
281
282
283
284
285
286
287
288
289
290
291
292
293
294
295
296
297
298
299
300
301
302
303
304
305
306
307
308
309
310
311
312
313
314
315
316

Apoptosis 0 :

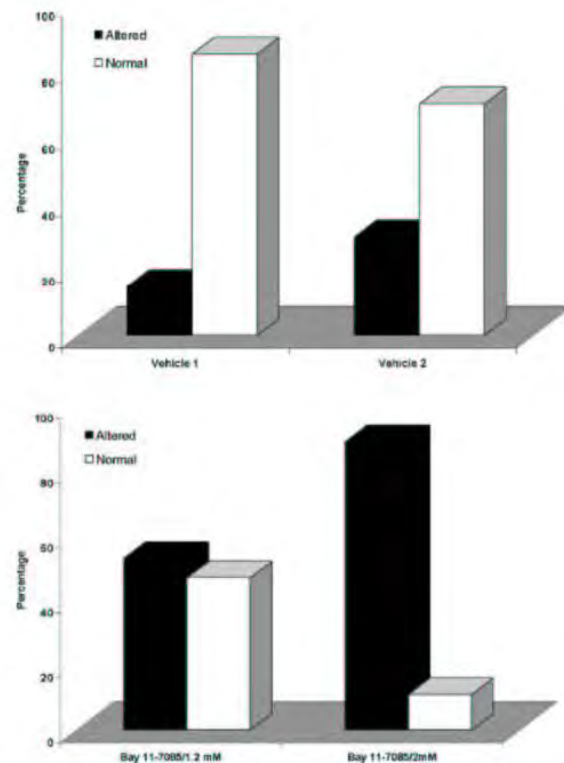


Fig. 5 Morphological alterations induced by inactivation of NF- κ B by the specific inhibitor Bay 11-7085. Injection of vehicle alone produced no external (A) or internal (B) effects on the morphological structure of a chick embryo heart. Panels C and D show a chick embryo heart injected with Bay 11-7085. This heart displays some of the many alterations caused by this chemical agent. Alterations were mainly seen at the outflow tract (OFT), including subvalvular stenosis (C1 and D1); double outlet of the right ventricle (D2); interventricular communication (D3) and right ventricle hypoplasia (D4)

317 stenosis. These findings are in agreement with previous work
 318 demonstrating an association between disrupted OFT, and
 319 the development of CIV and DORV [26]. All of the
 320 alterations were located within anatomical structures whose
 321 development is associated with OFT formation, in the same
 322 region where we find the NF- κ B expression. Thus, these
 323 findings suggest that NF- κ B inhibition may be involved directly
 324 with the induction of frequent congenital cardiac alter-
 325 ations, such as Fallot tetralogy, as suggested by Mou [7]
 326 and MaQuing [8].

327 Although the present data demonstrate a pivotal role for
 328 NF- κ B during heart development, some reports in trans-
 329 genic mice with blocked NF- κ B activation have indicated
 330 that NF- κ B is not an indispensable transcription factor for
 331 heart development [12, 14]. This incongruence may be due to
 332 the wide range of possible dimers that can be formed among
 333 members of the NF- κ B family [24, 25] because of the func-
 334 tional redundancy of NF- κ B subunits [27, 28]. Furthermore,

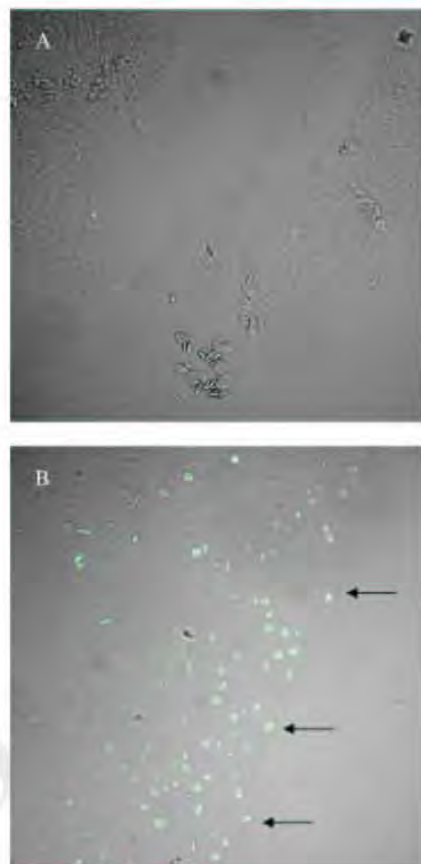


Fig. 6 TUNEL-assay demonstrating apoptosis of chicken OFT heart altered by the NF- κ B blockade by Bay 11-7085. Panel A shows a micrograph of a control heart at 34 HH stage and in panel B a heart at 34 HH where NF- κ B function was altered by Bay 11-7085 injection

it has been impossible to generate mice with a complete
 335 knockout of all Rel family members because p65 knockout
 336 mice die *in utero*, apparently as a result of widespread liver
 337 apoptosis [29].

338 It is not so clear why alterations emerged in the region of
 339 the large arteries in addition to in the OFT region, considering
 340 that these structures have their origin in the aortic sacs [30]
 341 and not in the OFT. It is possible that NF- κ B expression was
 342 not observed in these structures because the plasmid may
 343 not diffuse to the aortic arches region from the pericardial
 344 cavity where it was injected. On the other hand, the chemical
 345 structure of the inhibitor permits it to diffuse widely. Further
 346 studies are needed to determine whether alterations in the
 347 large arteries are due to a direct or indirect effect of NF- κ B
 348 inhibition.

349 This present study is the first in chicken embryo to pro-
 350 vide evidence that interference with activation Rel family
 351

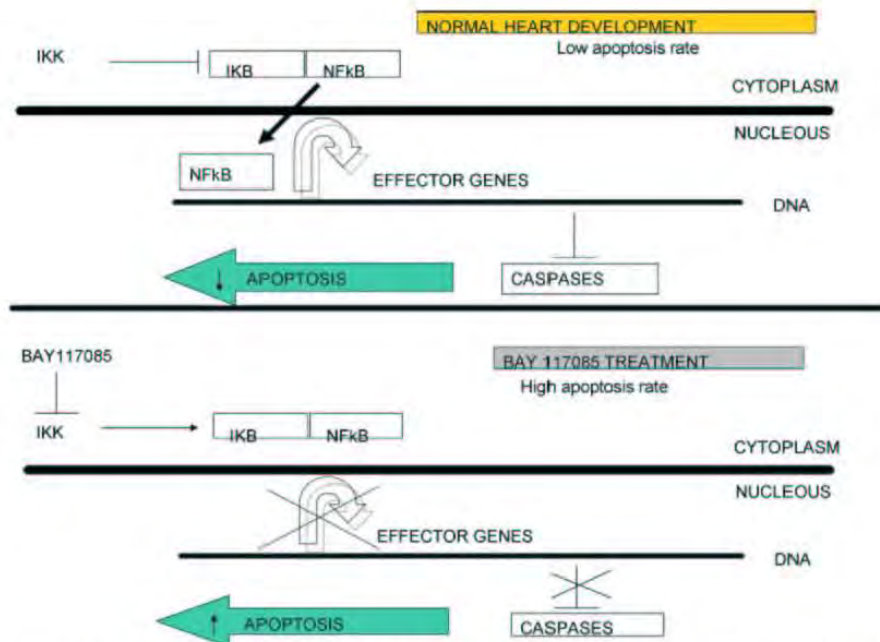


Fig. 7 Schematic view of possible role of NF- κ B in the protection of apoptosis during OFT heart development. Panel A shows the role of NF- κ B under normal development. Panel B shows the altered NF- κ B pathway induced by Bay 11-7085

members can result in the induction of apoptosis and congenital cardiopathies during heart development. It remains to be determined whether other Rel family members form active dimers that mediate morphological processes involved in the transformation of the OFT during cardiogenesis.

Acknowledgments Hernandez-Gutierrez received a scholarship from Conacyt and support of the Posgrado-UNAM. This study was partially supported by Conacyt-Project 33373. A professional scientific editor at Write Science Right was consulted during the preparation of this manuscript.

References

- Li C, Browder W, Kao RL (1999) Early activation of transcription factor NF- κ B during ischemia in perfused rat heart. *Am J Physiol* 276:H543–H552
- Wong SC, Fukuchi M, Melnyk P, Rodger I, Giaid A (1998) Induction of cyclooxygenase-2 and activation of nuclear factor κ B in myocardium of patients with congestive heart failure. *Circulation* 98:100–103
- Cooper M, Lindholm P, Pieper G, et al (1998) Myocardial nuclear factor activity and nitric oxide production in rejecting cardiac allografts. *Transplantation* 66:838–844
- Ritchie ME (1998) Nuclear factor κ B is selectively and markedly activated in humans with unstable angina pectoris. *Circulation* 98:1707–1713
- Kubota T, McTiernan CF, Frye CS, et al (1997) Dilated cardiomyopathy in transgenic mice with cardiac specific overexpression of tumor necrosis factor-alpha. *Circ Res* 81:627–635
- Frostegard J, Ulfsgren AK, Nyberg P, et al (1999) Cytokine expression in advanced human atherosclerotic plaques: Dominance of pro-inflammatory (Th1) and macrophage-stimulating cytokines. *Athero-sclerosis* 145:33–43
- Mou SS, Haudek SB, Lequier L, et al (2002) Myocardial inflammatory activation in children with congenital disease. *Crit Care Med* 4:827–832
- Qing M, Schumacher K, Helse R, et al (2003) Intramyocardial synthesis of pro- and anti-inflammatory cytokines in infants with congenital cardiac defects. *J Am Coll Cardiol* 41(12):2266–2274
- Hirotani S, Ota K, Nishida K, et al (2002) Involvement of nuclear factor- κ B and apoptosis signal-regulating kinase 1 in G-protein-coupled receptor agonist-induced cardiomyocyte hypertrophy. *Circulation* 105(4):509–515
- Jones WK, Brown M, Ren X, He S, McGuinness M (2003) NF- κ B as an Integrator of Diverse Signaling Pathways The Heart of Myocardial Signaling? *Cardiovasc Toxicol* 3(3):229–254
- McGowan BS, Ciccarelli EF, Chan TO, Feldman AM (2003) The balance between pro-apoptotic and anti-apoptotic pathways in the failing myocardium. *Cardiovasc Toxicol* 3(3):191–206
- Dawn B, Xuan YT, Marian M, et al (2001) Cardiac-specific abrogation of NF- κ B activation in mice by transdominant expression of a mutant I kappa B alpha. *J Mol Cell Cardiol* 33(1):161–173
- Zingarelli B, Hake PW, Yang Z, O'connor M, De-Linberg A, Wong HR (2002) Absence of inducible nitric oxide synthase modulates early reperfusion-induced NF- κ B and AP-1 activation and enhances myocardial damage. *FASEB J* 16:327–342
- Mista A, Chen Z, Sivasubramanian, et al (2001) Both cardiac myocyte apoptosis and infarct size are increased in mice with defective NF- κ B signaling. *Circulation* 104(Suppl.):II-11
- Higuchi Y, Chan TO, Brown MA, et al (2005) Cardioprotection Afforded by NF- κ B Ablation Is Associated with Activation of Akt In Mice Over-Expressing TNF α . *Am J Physiol Heart Circ Physiol*

359
360
361
362
363
364
365
366
367
368
369
370
371
372
373
374
375
376
377
378
379
380
381
382
383
384
385
386
387
388
389
390
391
392
393
394
395
396
397
398
399
400
401
402
403
404
405
406
407
408
409
410
411
412

Au:pls
provide
page
range

Au:pls
provide
page
range

Au:pls
provide
page
range

- 413 16. Brown M, McGuinness M, Wright T, et al (2005) Cardiac-specific
414 blockade of NF- κ B in cardiac pathophysiology: Differences
415 between acute and chronic stimuli *in vivo*. Am J Physiol Heart
416 Circ Physiol 289(1):H466-H476
417 17. Jay PY, Izumo S (2002) Elucidating the molecular and genetic
418 interactions responsible for congenital heart disease. Pediatr Res
419 51(2):127
420 18. Ferencz C, Rubin JD, McCarter RJ, et al (1985) Maternal mitral
421 valve prolapse and congenital heart disease in the offspring. Am
422 Heart J 110(4):899–900
423 19. Hamburger V, Hamilton HL (1951) A series of normal stages in
424 the development of the chick embryo. J Morphol 88:49–92
425 20. He TC, Zhou S, Da Costa LT, Yu J, Kinzler KW,
426 Vogelstein B (1998) A simplified system for generating re-
427 recombinant adenoviruses. Proc Natl Acad Sci 95(5):2509–
428 2514
429 21. Badrichani AZ, Stroka DM, Bilbao G, Curiel DT, Bach FH,
430 Ferran CJ (1999) Bcl-2 and Bcl-XL serve an anti-inflammatory
431 function in endothelial cells through inhibition of NF- κ B. Clin
432 Invest 103(4):543–553
433 22. Eschenhagen T, Fink C, Remmers U, et al (1997) Three-
434 dimensional reconstitution of embryonic cardiomyocytes in a
435 collagen matrix: A new heart muscle model system. FASEB J
436 11:683–694
437 23. Bergmann MW, Loser P, Dietz R, Harsdorf R (2001) Effect of
438 NF- κ B inhibition on TNF α induced apoptosis and downstream
439 pathway in cardiomyocytes. J Mol Cell Cardiol 33:1223–1232
440 24. Parry G, Mackman N (1994) A set of inducible genes expressed by
441 activated human monocytic and endothelial cells contain KB-like
442 sites that specifically bind c-Rel-p65 heterodimers. J Biol Chem
443 269:20823–20825
444 25. Baldwin AS Jr (2001) Series introduction: The transcription factor
445 NF- κ p65 and human disease. J Clin Invest 107(1):3–6
446 26. Arteaga M, De la Cruz MV, Sánchez C, Díaz GF (1982) Double
447 outlet right ventricle: Experimental morphogenesis in the chick
448 embryo heart. Ped Cardiol 3:219–227
449 27. Baldwin AS Jr (1996) The NF- κ p65 and I kappa B proteins:
450 New discoveries and insights. Annu Rev Immunol 14:649–683
451 28. Weih F, Durham SK, Barton DS, Sha WC, Baltimore D, Bravo
452 R (1997) p50-NF- κ B complexes partially compensate for the
453 absence of RelB: Severely increased pathology in p50(-/-)relB(-/-)
454 double-knockout mice. J Exp Med 185(7):1359–1370
455 29. Beg AA, Sha WC, Bronson RT, Ghosh S, Baltimore D (1995)
456 Embryonic lethality and liver degeneration in mice lacking the
457 RelA component of NF κ B. Nature 376(6536):167–170
458 30. Waldo K, Kirby ML (1998) Development of the Great arteries. In:
459 De la Cruz MV, Markwald R (eds) Living morphogenesis of the
460 heart, Springer-Verlag, Heidelberg, pp 187–217

ARTÍCULO 2 SOMETIDO A LA REVISTA DEVELOPMENT

New Submission

Your submission has been uploaded successfully!

Judith Eisen

NF-61547B Plays an Important Role as a Key Cytoprotective Factor in Adjacent Zones of Apoptosis in the during Chicken Heart Development.

NF- κ B is a ubiquitous dimeric homo-heterodimer transcription factor complex that normally resides within. This complex is inhibited by I κ B proteins, which inactivate NF- κ B by trapping it in the cytoplasm. Cur has been associated with both anti- and pro-apoptotic mechanisms. While NF- κ B is most commonly found cytoprotective influence, there are a number of instances where it can be pro-apoptotic, depending on the stimulus and the cellular context. It remains unknown precisely what role is played in vivo and during or development.

The presence of apoptosis, or programmed cell death PCD, has been widely documented in developing c. Indeed studies examining avian development have shown that the shortening and rotation of the outflow require spatially and temporally regulated apoptotic elimination of OFT cardiomyocytes during heart deve chicken. The aim of this work was to investigate whether NF- κ B plays an important cytoprotective role di of the OFT, and whether blocking NF- κ B can induce apoptosis during chicken heart development. In orde these experiments, we designed an adenovirus vector that reports the presence of the active form of NF-used BAY 11-7085, an irreversible inhibitor of I κ B phosphorylation, to inhibit NF- κ B activation. When B injected into the zone where the reporter gene was expressed, we found several congenital cardiac alter: OFT, along with increased apoptosis. This suggests that activation of NF- κ B gives rise to cytoprotective s prevent the development of cardiac alteration at the OFT level.

Salomón Hernández-Gutiérrez^{1,2}, Fernando Hernández-Sánchez¹, Alejandro Zentella-Dehesa^{1,4}, Isabel Manuel Ramos-Kuri¹, Pablo Hernández-Franco², and Emilio Rojas¹

heart development

No covering message

E:\salomon\paper2\Rojas_version para development (23 de marzo).pdf

E:\salomon\paper2\cover letter development.doc

NF-κB Plays an Important Role as a Key Cytoprotective Factor in Adjacent Zones of Apoptosis in the Outflow Tract during Chicken Heart Development.

Salomón Hernández G^{1,2}, Fernando Hernández S¹, Alejandro Zentella D^{1,4}, Isabel García P³, Manuel Ramos K¹, Pablo Hernández F², and Emilio Rojas¹.

¹ **Instituto de Investigaciones Biomédicas, Departamento de Medicina Genómica y Toxicología Ambiental, UNAM**

² **Escuela de Medicina, Laboratorio de Biología Molecular Universidad Panamericana**

³ Facultad de Medicina, Departamento de Biología Celular y Tisular, UNAM

⁴ Departamento de Bioquímica, Instituto Nacional de Ciencias Médicas y Nutrición “Salvador Zubirán”.

Running Title: Cytoprotective effect of NF- _B during OFT apoptosis.

Key words: NF- _B, Bay11-7085, Chick heart development, Green Fluorescent Protein, Cardiac Alterations.

* Address correspondence to: Emilio Rojas . Instituto de Investigaciones Biomédicas, Departamento de Medicina Genómica y Toxicología Ambiental, UNAM. México D.F. 04510. E-mail: emilior@servidor.unam.mx

Summary

NF- κ B is a ubiquitous dimeric (homo-/heterodimer) transcription factor complex that normally resides within the cytosol. This complex is inhibited by I- κ B proteins, which inactivate NF- κ B by trapping it in the cytoplasm. Curiouslyly, NF- κ B has been associated with both anti- and pro-apoptotic mechanisms. While NF- κ B is most commonly found to have a cytoprotective influence, there are a number of instances where it can be pro-apoptotic, depending on the inducing stimulus and the cellular context. It remains unknown precisely what role is played *in vivo* and during organ development.

The presence of apoptosis, or programmed cell death (PCD), has been widely documented in developing cardiac tissues. Indeed studies examining avian development have shown that the shortening and rotation of the outflow tract (OFT) require spatially and temporally regulated apoptotic elimination of OFT cardiomyocytes during heart development in chicken. The aim of this work was to investigate whether NF- κ B plays an important cytoprotective role during apoptosis of the OFT, and whether blocking NF- κ B can induce apoptosis during chicken heart development. In order to perform these experiments, we designed an adenovirus vector that reports the presence of the active form of NF- κ B. We then used BAY 11-7085, an irreversible inhibitor of I κ B α phosphorylation, to inhibit NF- κ B activation. When Bay 11-7085 was injected into the zone where the reporter gene was expressed, we found several congenital cardiac alterations in the OFT, along with increased apoptosis. This suggests that activation of NF- κ B gives rise

to cytoprotective signals that prevent the development of cardiac alteration at the OFT level.

INTRODUCTION

NF-κB (Nuclear Factor-Kappa B) is a transcription factor composed of various combinations of homo- and hetero-dimer components consisting of five members of the Rel family, including NF-κB1 (p50), NF-κB2 (p52), Rel A (p65), and c-Rel (Rel). In un-stimulated cells, NF-κB dimers are sequestered in the cytosol by inhibitor proteins, called I_KBs. The phosphorylation of I_KBs and their subsequent dissociation from the complex and degradation allow activation of the NF-κB complex. Paradoxically, NF-κB activation has been associated with both anti- and pro-apoptotic processes (Barkett and Gilmore, 1999).

The embryonic cardiac outflow tract (OFT), the portion of the embryonic heart connecting the developing ventricles to the aortic sac, plays a key role in the establishment of dual circulation Pexieder, 1995; Rothenberg et al., 2003; Webb et al., 2003). In birds and mammals, OFT myocardium is added from a ‘secondary (anterior) heart-forming field’ derived from splanchnic mesoderm beneath the caudal pharynx after the formation of the primitive heart tube from the primary heart-forming field (Kelly et al., 2001; Mjaatvedt et al., 2001; Waldo et al., 2001). The OFT subsequently undergoes a complex remodeling process during the transition to dual circulation. It is divided into pulmonary and systemic circuits by septation, a process dependent upon the invasion of cells migrating from the neural crest (Kirby et al, 1983). The OFT also shortens and rotates in order for the pulmonary artery to connect to the right ventricle in a position anterior to and to the

right of the aorta's point of insertion into the left ventricle (de la Cruz et al., 1977; Thompson et al., 1987; Watanabe et al., 1998).

The phenomenon of programmed cell death (PCD) has been widely documented in developing cardiac tissues (Pexieder, 1975; Fisher et al., 2000; Poelmann et al., 2000; van den Hoff et al., 2000; Schaefer et al., 2004). Specifically during avian development, it has been demonstrated that the shortening and rotation of the OFT requires the spatially and temporally coordinated elimination of OFT cardiomyocytes; this reduction is achieved by apoptosis between stages 25 and 32 (Hamburger and Hamilton, 1951) during development of the chicken heart (Watanabe et al., 1998; Salle et al., 2004).

The aim of this study was to test the possible participation *in vivo* of NF- κ B as a key cytoprotective factor in adjacent zones of apoptosis in the OFT, including investigating whether blockade of NF- κ B activation induces apoptosis during chicken heart development, in the area where p52 subunit of the Rel family is observed.

MATERIAL AND METHODS

Experiments were conducted in chicken (*Gallus gallus*) embryos of the White Leghorn strain obtained from ALPES SA de CV (Mexico). Fertilized chicken embryos were incubated at 37.5°C at 86-87% humidity in a forced-draft incubator between stages 22-24 as described by Hamburger and Hamilton (HH) (1951).

Reverse Transcription-Polymerase Chain Reaction

Non-quantitative expression analysis of p50, p52, and p65 transcripts was carried out by Reverse Transcription-Polymerase Chain Reaction (RT-PCR) on tissue that was isolated from the different portions of the heart (OFT and ventricles). The OFT was separated from the rest of heart (25 hearts) and total RNA was extracted using an RNA isolation kit from Gentra Systems (Minneapolis, MN) according to the manufacturer's specifications. Reverse transcription reactions were performed with 2 µg of total RNA from each segment using the following primers:

p50 (Forward 5'-cttaaaaatggcaggagaggatcc-3', Reverse 5'-gtacactccggaaagcgta-3')

p52 (Forward 5'-cttccgatttcggtatgtctgc-3', Reverse 5'-gtagtacaagaagaaccactgcacc-3')

p65 (Forward 5'-ggatgcggttccgctataagtgt-3', Reverse 5'-gtggcgcgagtccagcataag-3')

The reaction conditions for RT-PCR were as follows: an initial 1-h incubation at 42 °C with M-MLV RT enzyme, followed by inactivation for 60 s at 95 °C. After RT reaction, a standard PCR denaturing step (5 min at 95 °C), followed by 36 cycles, each cycle consisting of 30 s at 95 °C, annealing 30 s at 54, 55, or 58 °C for p50, p52, and p65 respectively, and extension for 60 s at 72 °C; after the final cycle an additional extension step at 72 °C during 7 min was performed. All amplification regents were supplied by GIBCO, USA).

Generation of Adenovirus Recombinant

The plasmids required to generate the adenovirus were a gift from Dr. Vogelstein of the Howard Hughes Medical Institute, Maryland USA). Construction

was performed following the methodology described in He et al., 1998). The overall strategy, which involved 3 steps, is diagrammed in Fig. 2. First, a fragment with NF- κ B sites and the cDNA corresponding to the green fluorescent protein (GFP) from pNF- κ B-GFP (Hernandez-Gutierrez et al., 2006) was cloned into a shuttle vector. Second, the resulting construct was linearized with Pme I and transformed together with a supercoiled adenoviral vector, pAdEasy, into *E. coli* strain BJ5183. Recombinants were selected with kanamycin and screened by restriction endonuclease digestion and automated sequencing. Third, the recombinant adenoviral plasmid construct was digested with Pac I and transfected into packaging cells (293 T cell line). After 5-7 days we obtained the infective recombinant adenoviral particles.

Cells and virus

293 T cells were grown in cell culture dishes (Falcon 10 X 10 mm) or six-well plates for virus titration with DMEM (Invitrogen, USA) supplemented with 10% neonate bovine serum (Hi-clone, USA), and antibiotics (100 mg/ml streptomycin and 100 U/ml penicillin) (Invitrogen, USA) at 37°C, 5% CO₂, and 100% humidity. The selection of recombinant adenovirus strain was amplified and titrated using conventional methodologies.

NF- κ B expression

To examine transcriptionally active forms of NF- κ B *in vivo*, an *in ovo* microinjection experiment was performed. To gain access to the embryo and

expose the heart surface, a small window was opened in the shell and the surrounding extracellular membranes were removed in embryos at HH stages 22-24 (4.5 d incubation). Once unveiled, the entire heart was exposed to virus by pericardial microinjection of 2×10^8 pfu in 0.5 μ l with a G-1 capillary micropipette (Narishige Co. LTD., Japan) under a stereoscopic microscope. The windows were then sealed and eggs were incubated for 48 h, when hearts were extracted and observed under an epifluorescence microscope (Carl Zeiss Axioplan, 4X) or a laser scanning confocal microscope (Zeiss LSM 410; Axiovert 100, Zeiss 5X plan-Neofluor WD 13.5 mm, excitation lines: 488 nm for green and 568 nm for red) for analysis.

NF- κ B inhibition

To resolve whether NF- κ B is indeed a determinant of heart morphogenesis, we blocked phosphorylation of I κ -B, which is necessary for NF- κ B activation, using the irreversible inhibitor, Bay 11-7085 (Calbiochem, Germany). Embryos at HH stages 22-24 were prepared for microinjection as described above. The embryo's hearts were injected with 0.5 μ l of 1.2 mM Bay 11-7085 (dissolved in dimethyl sulfoxide (DMSO; SIGMA, Mexico) diluted in PBS). Once injected, eggs were sealed and returned to incubation. Development of the injected embryos was allowed to continue for 6 d, until HH stages 34-36, when the fetal heart has partitioned. Later, the hearts were dissected for morphological analysis with a stereoscopic microscope.

Antibodies

NF-κB family-specific murine monoclonal antibodies were obtained from Santa Cruz Biotechnology Inc (USA).

Immunofluorescence

Tissue from normal hearts previously injected with adenovirus at 22-24 stage of HH, normal untreated hearts, and hearts treated with BAY 11-7085 at HH stage 36 were immediately fixed in a 4% paraformaldehyde for 24 h, then exchanged against 15% and 30% sucrose solution in PBS for 24 h each. Hearts protected by embedding Tissue-Tek OCT (Miles-Bayer) media were immediately frozen in a cryostat. Five μm sections were cut and mounted onto Poly-L-Lysine (Sigma) coated slide and stored at -70°C before staining using the TUNEL technique.

TUNEL assay

For TUNEL assay, the hearts were fixed in 4% paraformaldehyde, paraffin-embedded, or frozen/sectioned in the sagittal plane. The 5 μm serial sections were stained using the TUNEL technique according to the manufacturer's instructions (Promega, USA), with modifications. We exchanged the nucleotide mix included into the kit with Cy5-dUTP (Amersham Biosciences, UK) and we used unlabelled nucleotides (Applied Biosystems, USA) at 200 μm . The slices were mounted with Vectashield DAKO, UK).

Immunocytochemistry

A subset of the normal and BAY 11-7085-treated hearts at stages 22-23 and 36 of HH were processed for paraffin embedding and sectioning. Serial transverse sections (5 μ m) were collected on electrically-charged slides (Superfrost/Plus, Fisher Scientific, USA). Slices were incubated overnight at 4 °C with α -p52 antibody that was diluted 1:100 with 10% BSA in PBS and revealed with an immunoperoxidase kit (Dako, UK). For certain procedures, hearts were processed for frozen sectioning.

RESULTS

NF- κ B expression

The presence and role of NF- κ B in heart development is not well defined. It is not known when NF- κ B becomes activated, whether activation is compartmentalized, or even whether it is important for heart development at all. In order to investigate the expression of NF- κ B subunits in heart tissue, total RNA extracts were prepared by dissecting the OFT and the rest of heart (ventricles) from HH stage 22-24 chicks. We designed primers for the commonly found members of the chicken NF- κ B family, p50, p52, and p65, and determined their expression by RT-PCR. The expected fragments for p50, p52, and p65 were 220, 292, and 380 bp, respectively. Prior to RT-PCR amplification from total heart RNA, the primers were tested on different chicken tissues, corroborating amplification of the expected PCR products (data not shown). Our RT-PCR data (Fig. 1) shows

the pattern of expression of these NF- κ B family members in each of the two stages of development analyzed for each heart segment.

NF- κ B activity

To analyze the distribution of transcriptionally active forms of NF- κ B, we constructed an adenoviral vector (Fig. 2) that employs an NF- κ B-sensitive GFP reporter transcript to reveal those cells with active NF- κ B. This adenovirus vector was used to indirectly locate the presence of transcriptionally active NF- κ B *in vivo* in the microinjected hearts. Forty-eight hours after injection, fluorescence was detected in the OFT region (Fig. 3A). Figures 3B-F shows the presence of GFP by confocal microscopy at different levels through several optical cuts. Interestingly, this analysis revealed that GFP reporter expression is abundant in the anterior part of the OFT and absent in the posterior part of this structure (Fig. 3F).

NF- κ B cytoprotection

To investigate the potential participation *in vivo* of NF- κ B as a key cytoprotective factor in adjacent zones of apoptosis in the OFT during normal heart development, we injected the adenoviral reporter into chicken hearts and observed fluorescence in the OFT region after 48 h (Fig. 4A). We then carried out a TUNEL assay to locate apoptosis in the OFT of hearts at HH stage 28-29 (Fig 4B). Finally, we also performed an experiment to simultaneously visualize regions of apoptotic foci (red), surrounding green myocytes, which are those expressing NF- κ B factor in

the OFT (Fig. 4C). Where the cells surrounding apoptotic regions of the OFT are NF- κ B.

NF- κ B inhibition and Apoptosis

To test *in vivo* the hypotheses that signaling through NF- κ B in the OFT is at least in part associated with an anti-apoptotic mechanism, we applied a pharmacological inhibitor of NF- κ B, Bay 11-7085. After treatment, development of the injected embryos was allowed to continue for 6 d, at which time the morphology of the embryo hearts was analyzed. We found an increased rate of apoptosis in hearts that had been injected with the inhibitor (Fig. 5D) compared to hearts injected with vehicle alone (Fig. 5C). We found (Fig. 5B and prior studies from our laboratory, *in press*) that microinjection of Bay 11-7085 altered morphology within the OFT zone of the heart, precisely in the region where the fluorescence of GFP appeared when hearts were injected with the reporter adenovirus. Inhibitor treatment caused various kinds of alterations (Fig. 5E); however, in comparison vehicle-injected hearts displayed normal morphology (Fig. 5A).

Pharmacological inhibition of NF- κ B may predominantly produce nonspecific effects that are independent of the NF- κ B pathway. However, the application of NF- κ B inhibitors in *in vivo* models has allowed spatio-temporal modulation of activation (Zou et al., 2003). It has been previously shown that the compound Bay 11-7085 inhibits NF- κ B activation by blocking inducible I κ B α phosphorylation at Ser 32 and Ser 36 (Pierce et al., 1997; Bhakar et al., 2002; Chiarugi, 2002), thus preventing participation of this factor in apoptotic events.

Immunochemistry

With the aim of verifying NF- κ B inhibition *in vivo*, we micro-injected the NF- κ B inhibitor Bay 11-7085 2 h before performing immunochemistry for p50, p52, and p65 using commercial antibodies raised against mammalian protein. Even though these NF- κ B family members are highly conserved proteins, only staining for p52 was positive. This selectivity is most likely due to the p50 and p65 antibodies not being raised against the chicken antigen. Figure 6A shows results from control hearts injected only with vehicle; panel B shows little to no positive staining for p52 in the hearts injected with the inhibitor. Both views are transverse slices of the injected OFT region. We also carried out immunochemistry for NF- κ B (p52) on slices from Bay11-7085-treated hearts, and finding it to be absent from the zone altered by this inhibitor (Fig 6F). The untreated zone is shown for comparison in figure 6E.

DISCUSSION

Studies reported by Watanabe et al., (1998) showed that OFT remodeling requires the spatially and temporally regulated elimination of OFT cardiomyocytes by apoptosis between HH stages 25 and 32; however, the whole OFT does not undergo apoptosis. This group has also suggested that the signal that triggers the cardiomyocyte apoptosis and remodeling of the OFT during the transition to dual circulation is produced by regional myocardial hypoxia Sughishita et al., 2004). However, these observations generate some questions, such as: what factors may prevent apoptosis in those cardiomyocytes that do not undergo apoptosis?

Our results suggest that NF- κ B is such an apoptosis suppressing factor, which may participate as a protective factor in cells surrounding the apoptotic zones. We decided to utilize two different approaches to test this idea. First, we analyzed the role of a pharmacological inhibitor of NF κ B activation, Bay 11-7085, assessing apoptosis with a TUNEL assay. A nominal amount of apoptosis was observed in the control hearts; however, at HH stage 34, Bay 11-7085 induced significant apoptosis in the OFT, strongly implicating the participation of NF- κ B in protection against apoptosis *in vivo*. Under normal conditions at this stage of heart development, apoptosis does not occur in the OFT zone and the heart is completely partitioned. In addition, we also observed inhibition of an NF- κ B-controlled GFP reporter expression in the OFT after treatment with the NF- κ B inhibitor and consequently an alteration of heart morphology.

A second approach, confocal analysis, was used to demonstrate that the cells surrounding apoptotic regions of the OFT are NF- κ B positive. Taken together

our data confirm that NF- κ B gives rise to an anti-apoptotic cytoprotective signal and prevents the cardiac development at the OFT level. Although this study was not designed to identify the complete portfolio of biological mechanisms responsible for the cytoprotective effects of NF- κ B, the immunohistochemistry findings reported herein strongly suggest the participation of the NF- κ B member, p52, in conferring cytoprotection against apoptosis.

Our results disagree with some studies in mammals that have suggested that NF- κ B may not play a role in the development and differentiation of organs and tissues (Weih et al., 1997; Dawn et al, 2001). Although all of the Rel family members have been individually genetically ablated, none of these knockout mice are reported to have cardiac defects, raising the possibility that functional redundancy persists and the reason for this discrepancy may be related to differences between experimental models.

The changes induced in the OFT zone demonstrate a role for NF- κ B in cardiac morphogenesis and cytoprotection. However, the other up- and downstream players involved of survival signaling through the NF- κ B pathway remain to be identified. In this respect, the proposition by Watanabe's group that regional myocardial hypoxia may trigger cardiomyocyte apoptosis and remodeling of the OFT is very interesting, particularly because in the transition to dual circulation, VEGF and Akt provide survival signals that regulate these processes (Sugishita et al., 2004). Thus one of the possible factors upstream of the NF κ -B pathway may be the Akt/PKB pathway. Indeed Akt/PKB has been shown to regulate IKK activity, which leads to the nuclear translocation and activation of NF- κ B and transcription

of NF-B-dependent pro-survival genes, including Bcl-xL, caspase inhibitors, and c-Myb [reviewed in Song, 2005]. Elucidating the role of this and other potential players in this system will be an important aim for future studies.

Acknowledgements:

Hernandez-Gutierrez received a scholarship from CONACYT and support of the Dirección General de Posgrado-UNAM. This study was partially supported by CONACYT-Project 33373. A professional scientific editor at Write Science Right was consulted during the preparation of this manuscript.

Figure 1. Expression of NF-κB dimers in the chicken heart Total RNA was prepared from OFT (lanes 2, 3, 4, and 8) and ventricular samples (lanes 5, 6, 7, and 9) of chicken hearts at HH stage 22-23. Lane 1, standard molecular weight marker; lanes 2 and 5, the expression of p50; lanes 3 and 6, p52; and lanes 4 and 7, p65. Lanes 8 and 9 are negative controls for OFT and ventricular RNA, respectively.

Figure 2. Diagram of the strategy designed for construction of the adenoviral NF-κB-GFP reporter vector A fragment of the plasmid pNF-κB-GFP, which contains the consensus sites for NF-κB joined to GFP, was sub-cloned in a system to generate recombinant adenovirus (for details, see methods).

Figure 3. GFP expression in the chick embryo outflow tract (OFT) Panel (A), (10_) view under epifluorescence microscope of a chick embryo heart OFT region previously injected with the adenoviral reporter vector. Panel (B-F), (10_) confocal serial micrographs at different optical levels, where the GFP presence is more evident at the OFT anterior (B-D) part and decreased or ablated expression appears at OFT posterior (E-F).

Figure 4. Activation of NF-κB and possible participation as protective factor in apoptosis of the OFT in the chicken embryo (A) The NF-κB-GFP adenovirus reporter was used to indirectly locate the presence of transcriptionally active NF-κB in microinjected hearts *in vivo*. Green fluorescence was detected in the OFT

region (stage 28-29). (B), Shown is the apoptotic zone of the OFT at stage 28-29 (same stage as panel A). Panel (C), shown is the simultaneous localization of apoptotic foci (red), surrounding green myocytes signifying expression of NF- κ B in the OFT.

Figure 5. Morphological alterations and apoptosis induced by inactivation of NF- κ B by inhibitor Bay 11-7085 Injection of vehicle alone produced no external or internal effects on the morphological structure of chick embryo hearts (A), with some apoptotic cells found at the outflow tract (OFT) level (panel C, arrows). (B), a chick embryo heart injected with Bay 11-7085 displays some of the many alterations caused by this chemical agent at precisely the zone where the adenovirus reporter was expressed. (D), the inhibitor-treated heart shows an increased rate of apoptosis in the OFT zone. Alterations were primarily seen in the (OFT), including subvalvular stenosis, (E1); double outlet of the right ventricle (DORV), (E2); interventricular communication, (E3); and right ventricle hypoplasia, (E4).

Figure 6 Immunochemistry for NF- κ B (A), p52 is distributed in OFT only at the anterior section in control-injected stage 22-24 hearts, but absent from the posterior region. Little or no expression of p52 in hearts inhibited by Bay 11-7085 2 h after injection. Panel (C) and (D) show a panoramic view of a heart with OFT stenosis and DORV induced by Bay 11-7085. (E), magnified view of boxed area in (C); p52 is present in the nucleus of myocytes just below the stenosis alteration in

a non-affected zone. Shown in panel (D) is the absence of p52 in nuclei in an altered zone (stenosis at OFT level). (F), magnified view of boxed section in (D) showing little signal in the cytoplasm of cells.

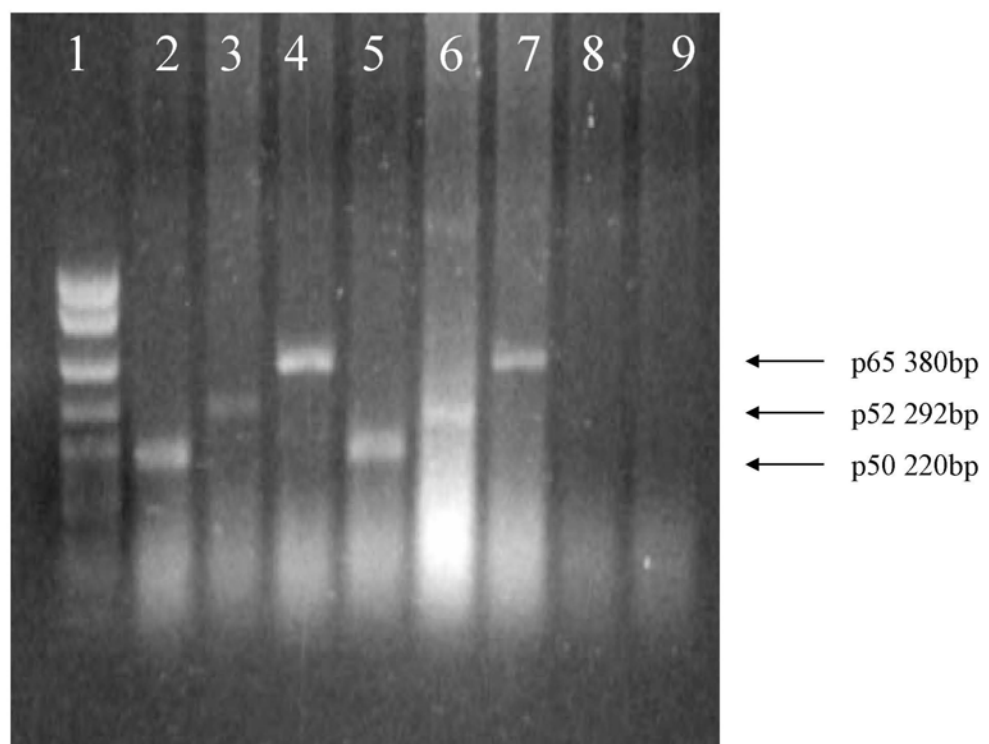


Figure 1

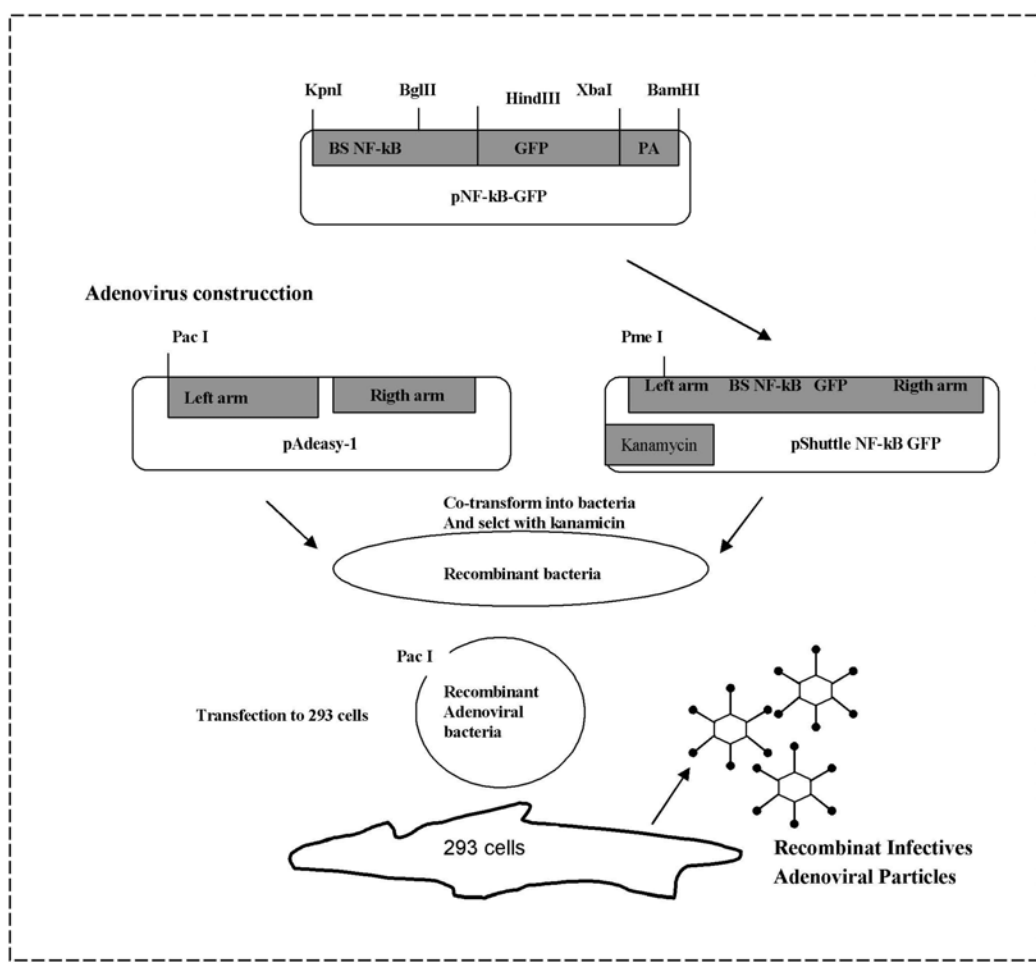


Figure 2

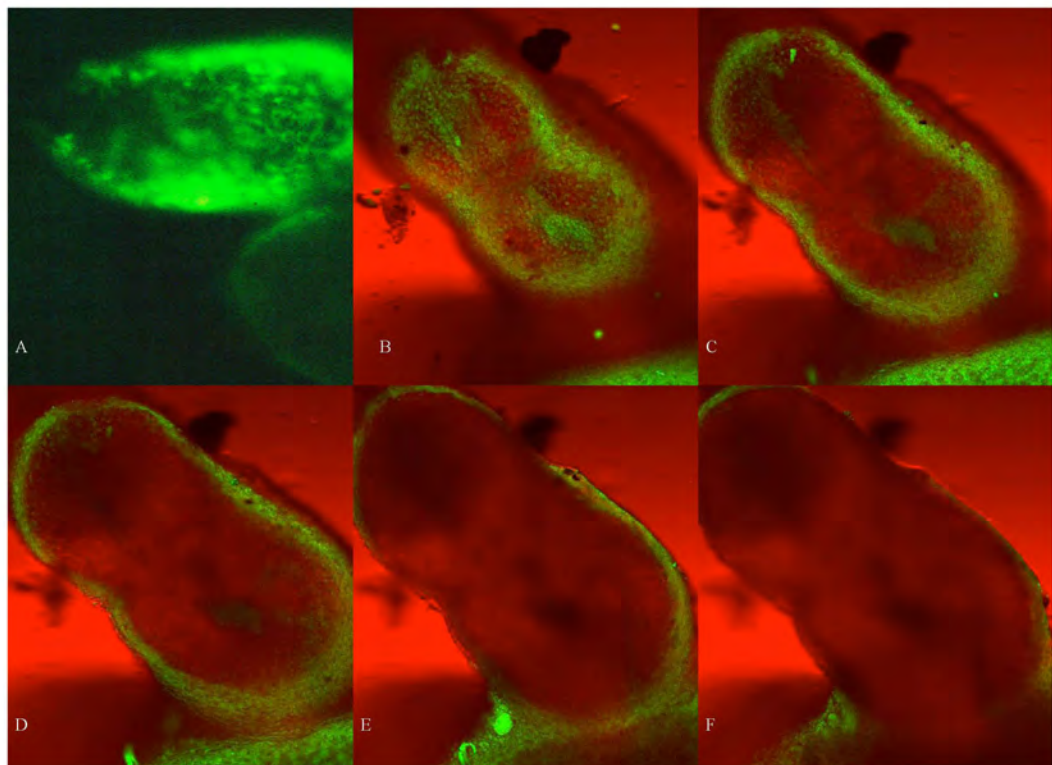


Figure 3

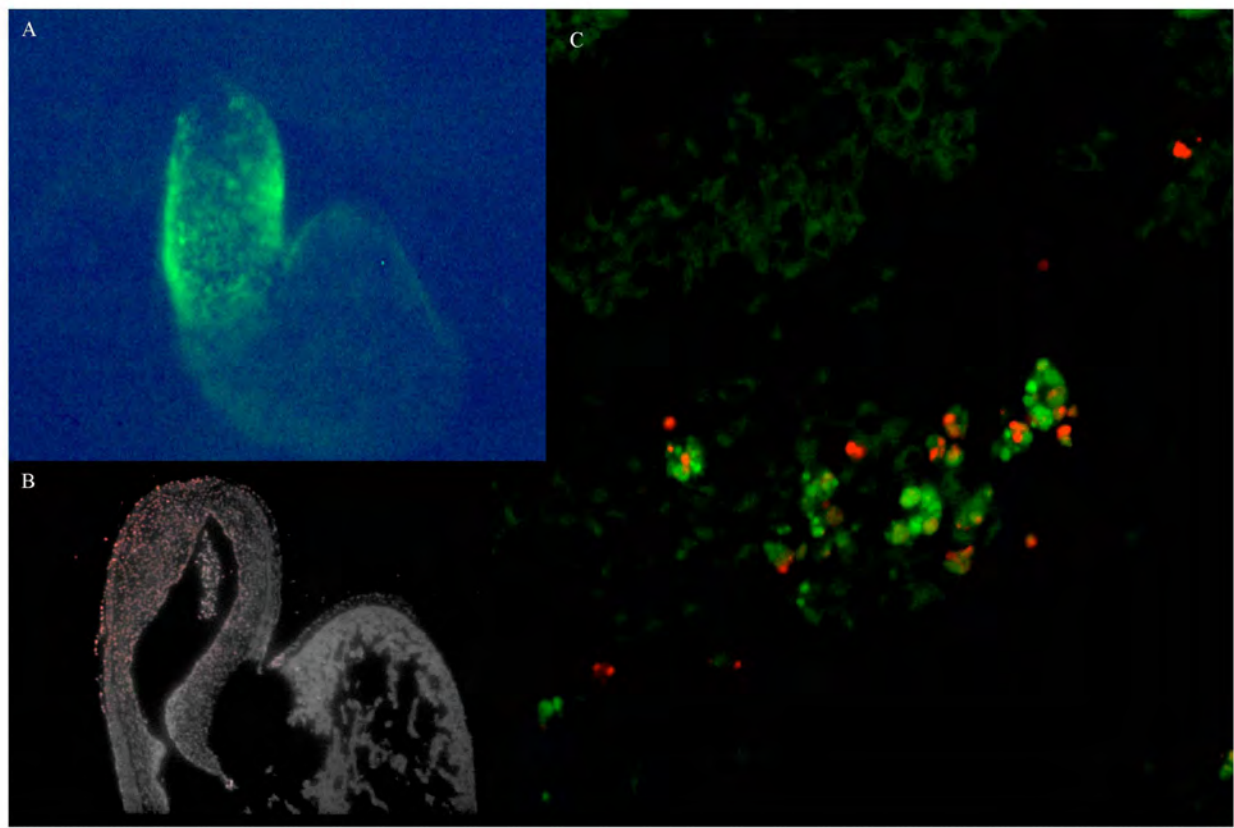


Figure 4

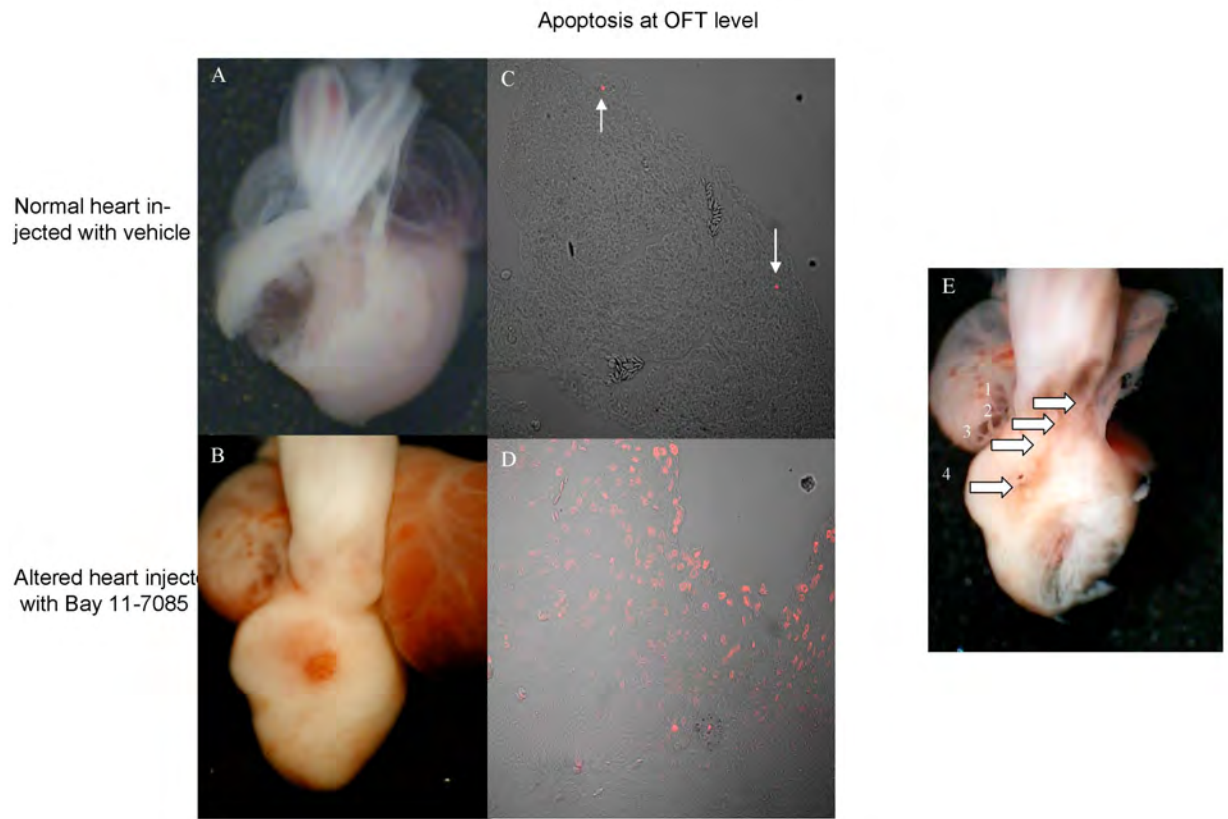


Figure 5

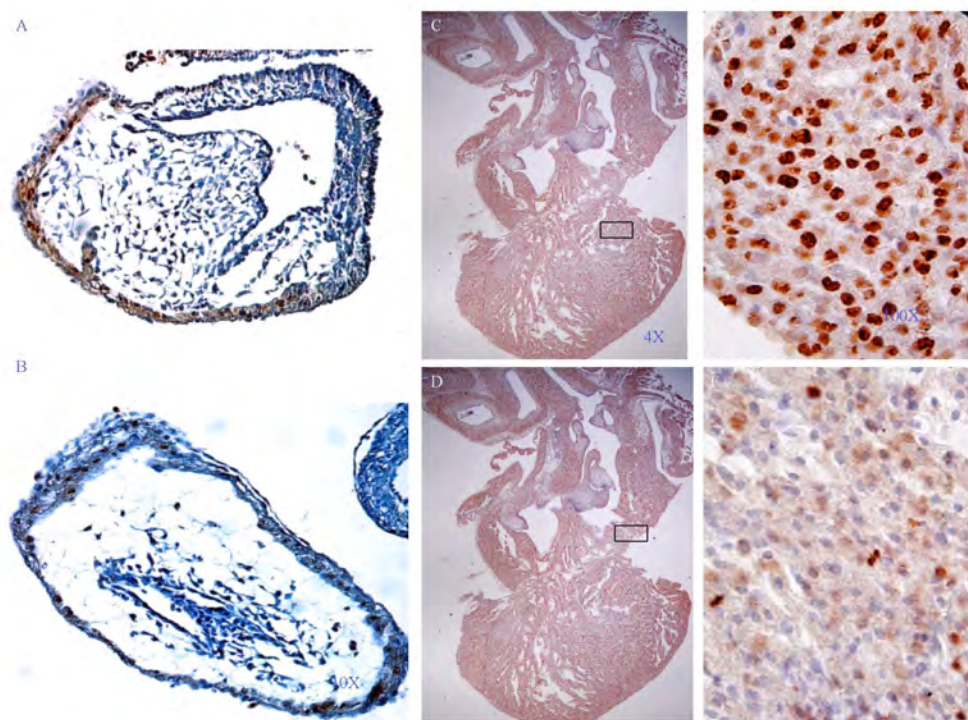


Figure 6

REFERENCES

- Barkett M, Gilmore TD., 1999. Control of apoptosis by Rel/NF-kappaB transcription factors. *Oncogene*. Nov 22;18(49):6910-24.
- Bhakar AL, Tannis LL, Zeindler C, Russo MP, Jobin C, Park DS, MacPherson S, Barker PA., 2002. Constitutive nuclear factor-kappa B activity is required for central neuron survival. *J Neurosci*. Oct 1;22(19):8466-75
- Chiarugi A, 2002. Characterization of the molecular events following impairment of NF-kappaB-driven transcription in neurons. *Brain Res Mol Brain Res*. Dec 30;109(1-2):179-88.
- Dawn B, Xuan YT, Marian M, Flaherty MP, Murphree SS, Smith TL, Bolli R, Jones WK. 2001 Cardiac-specific abrogation of NF- kappa B activation in mice by transdominant expression of a mutant I kappa B alpha. *J Mol Cell Cardiol*; 33(1): 161-173.
- de la Cruz, M.V., Sanchez, G.C., Arteaga, M.M., Arguello, C., 1977. Experimental study of the development of the truncus and the conus in the chick embryo. *J. Anat.* 123, 661– 686.
- Fisher SA, Langille BL, Srivastava D., 2000. Apoptosis during cardiovascular development. *Circ Res*. Nov 10;87(10):856-64. Review.
- Hamburger, V., Hamilton, J.L., 1951. A series of normal stages in the development of the chick embryo. *J. Morphol.* 88, 49–92.
- He TC, Zhou S, Da Costa LT, Yu J, Kinzler KW, Volgestein B. 1998. A simplified system for generating recombinant adenoviruses. *Proc Natl Acad Sci*;95(5):2509-14.
- Hernández-Gutierrez S, Hernández F, Zentella A, García I, Ramos-Kuri M, Hernández-Franco and Rojas E. 2006 NF- κ B signaling blockade by Bay 11-7085 during early cardiac morphogenesis induces alterations of the outflow tract in chicken Herat. *Apoptosis* (in press).
- Kelly, R.G., Brown, N.A., Buckingham, M.E., 2001. The arterial pole of the mouse heart forms from Fgf10-expressing cells in pharyngeal mesoderm. *Dev. Cell* 1, 435–440.
- Kirby, M.L., Gale, T.F., Stewart, D.E., 1983. Neural crest cells contribute to normal aorticopulmonary septation. *Science* 220, 1059– 1061.

- Mjaatvedt, C.H., Nakaoka, T., Moreno-Rodriguez, R., Norris, R.A., Kern, M.J., Eisenberg, C.A., Turner, D., Markwald, R.R., 2001. The outflow tract of the heart is recruited from a novel heart-forming field. *Dev. Biol.* 238, 97– 109.
- Pexieder, T. 1975. Cell death in the morphogenesis and teratogenesis of the heart. *Adv Anat Embryol Cell Biol.*;51(3):3-99.
- Pexieder, T., 1995. The conotruncus and its septation at the advent of the molecular biology era. In: Clark, E.B., Markwald, R.R., Takao, A. (Eds.), *Developmental Mechanisms of Heart Disease*. Futura Publishing Co., Inc., Armonk, NY, pp. 227– 248.
- Pierce JW, Schoenleber R, Jesmok G, Best J, Moore SA, Collins T, Gerritsen ME., 1997. Novel inhibitors of cytokine-induced IkappaBalphaphosphorylation and endothelial cell adhesion molecule expression show anti-inflammatory effects in vivo. *J Biol Chem.* Aug 22;272(34):21096-103.
- Poelmann RE, Molin D, Wisse LJ, Gittenberger-de Groot AC., 2000. Apoptosis in cardiac development. *Cell Tissue Res.* Jul;301(1):43-52.
- Rothenberg, F., Fisher, S.A., Watanabe, M., 2003. Sculpting the cardiac outflow tract. *Birth Defects Res., Part C. Embryol. Today* 69, 38–45.
- Sallee, D., Qiu, Y., Liu, J., Watanabe, M., Fisher, S.A., 2004. Fas ligand gene transfer to the embryonic heart induces programmed cell death and outflow tract defects. *Dev. Biol.* 267, 309–319.
- Schaefer, K.S., Doughman, Y.Q., Fisher, S.A., Watanabe, M., 2004. Dynamic patterns of apoptosis in the developing chicken heart. *Dev. Dyn.* 229, 489– 499.
- Song G, Ouyang G, Bao S., 2005. The activation of Akt/PKB signaling pathway and cell survival. *J Cell Mol Med.* 2005 Jan-Mar;9(1):59-71.
- Sugishita Y, Watanabe M, Fisher SA 2004. Role of myocardial hypoxia in the remodeling of the embryonic avian cardiac outflow tract. *Dev Biol.* Mar 15;267 (2) : 294-308.
- Sugishita Y, Leifer DW, Agani F, Watanabe M, Fisher SA., 2004. Hypoxia-responsive signaling regulates the apoptosis-dependent remodeling of the embryonic avian cardiac outflow tract. *Dev Biol.* Sep 15;273(2):285-96
- Thompson, R.P., Abercrombie, V., Wong, M., 1987. Morphogenesis of the truncus arteriosus of the chick embryo heart: movements of autoradiographic tattoos during septation. *Anat. Rec.* 218, 434–435.

van den Hoff MJ, van den Eijnde SM, Viragh S, Moorman AF., 2000. Programmed cell death in the developing heart. *Cardiovasc Res*. Feb;45(3):603-20.

Waldo, K.L., Kumiski, D.H., Wallis, K.T., Stadt, H.A., Hutson, M.R., Platt, D.H., Kirby, M.L., 2001. Conotruncal myocardium arises from a secondary heart field. *Development* 128, 3179–3188.

Watanabe, M., Choudhry, A., Berlan, M., Singal, A., Siwik, E., Mohr, S., Fisher, S.A., 1998. Developmental remodeling and shortening of the cardiac outflow tract involves myocyte programmed cell death. *Development* 125, 3809– 3820.

Webb, S., Qayyum, S.R., Anderson, R.H., Lamers,W.H., Richardson, M.K., 2003. Septation and separation within the outflow tract of the developing heart. *J. Anat.* 202, 327–342.

Weih F, Durham SK, Barton DS, Sha WC, Baltimore D, Bravo R. 1997. p50-NF-kappaB complexes partially compensate for the absence of RelB: severely increased pathology in p50(-/-)relB(-/-) double-knockout mice. *J Exp Med*; **185**(7):1359-70.

Zou L, Attuwaybi B, Kone BC., 2003. Effects of NF-kappa B inhibition on mesenteric ischemia-reperfusion injury. *Am J Physiol Gastrointest Liver Physiol*. 2003 Apr;284(4):G713-21. Epub 2002 Dec 4.

DISCUSIÓN:

La presencia de apoptosis durante el desarrollo del corazón ha sido ampliamente estudiada. Muchos de estos estudios se han realizado en la zona del tracto de salida, que es la porción del corazón que conecta los ventrículos al saco aórtico, es una estructura de suma importancia para el establecimiento de la circulación dual, para ello, el tracto de salida sufre un proceso complejo de remodelación a través de su acortamiento y rotación para lo cual se requiere de manera espacio-temporal la eliminación coordinada de cardíocitos por apoptosis durante los estadios 25-30 de HH en el modelo de corazón de embrión de pollo. Sin embargo no todo el tracto de salida sufre apoptosis, de esta observación surge nuestra pregunta del presente trabajo ¿Qué factores pueden prevenir la apoptosis en aquellos cardíocitos del tracto de salida que no sufren apoptosis?

Siendo NF-κB un factor de transcripción asociado a procesos de apoptosis, comúnmente asociado a generar protección contra la apoptosis en cardíocitos en cultivo, nos preguntamos si NF-κB podría estar jugando el mismo papel citoprotector *in vivo* durante el desarrollo del corazón. El objetivo fue probar la participación de NF-κB como un factor clave de citoprotección en zonas adyacentes de apoptosis en el tracto de salida.

Nuestra estrategia para probar nuestra hipótesis fue en primera instancia detectar la presencia de NF-κB en el corazón, en los estadios estudiados, por lo que uno de nuestros objetivos fue diseñar un vector plasmídico y uno adenoviral con un gen reportero (GFP) sensible a NF-κB que nos permitiera rastrear la presencia de la forma activa en el corazón, el resultado de ello fue la localización de la

fluorescencia en el tracto de salida. Sin embargo hasta este momento no se sabía cual podría ser la participación de NF-κB en la regulación de la morfogénesis del corazón, por lo que decidimos inhibir farmacológicamente, la función de NF-κB *in vivo* con el inhibidor Bay 11-7085. Este inhibidor se inyectó directamente en el corazón y se evaluó su efecto sobre la morfología. Los resultados de estos experimentos, fueron reportados en el primer artículo.

Hasta este momento habíamos aportado evidencias de la importancia que NF-κB podía tener para el desarrollo del corazón, puesto que la zona donde estamos observando la presencia de la fluorescencia con el gen reportero sensible a NF-κB era la misma zona donde encontramos las alteraciones cardíacas. Esto nos conducía a otra pregunta ¿NF-κB podría estar involucrado directamente en estas alteraciones? A pesar de que el inhibidor farmacológico en algunos reportes se ha mencionado que es inespecífico, nosotros, como otros grupos demostramos que en nuestro sistema, podemos modular la actividad de NF-κB a través de nuestros vectores reporteros usando el Bay 11-7085.

Los resultados de nuestro primer artículo parecían apuntar a que efectivamente NF-κB juega un papel importante durante la remodelación del tracto de salida, sin embargo la pregunta inicial seguía sin responderse y precisamente uno de nuestros objetivos fue el de localizar zonas apoptóticas y zonas de actividad de NF-κB (citoprotegidas) en los cardiocitos adyacentes a los focos apoptóticos del tracto de salida. Para ello en un segundo artículo hicimos experimentos en los cuales inyectamos el vector adenoviral sensible a NF-κB y sobre cortes de corazones normales que expresan la GFP (en verde) en el tracto de salida

llevamos a cabo la detección simultánea de células apoptóticas (en rojo). Estos resultados confirmaron nuestra hipótesis, el factor NF-κB se expresa en zonas adyacentes a células apoptóticas del tracto de salida. Para demostrar que su papel es citoprotector o antiapoptótico, inhibimos su activación nuevamente con Bay 11-7085, sabiendo que causa alteraciones morfológicas, observamos que los corazones alterados en comparación con los controles hay un incremento muy elevado de los niveles de apoptosis, lo cual significa que si NF- κB no esta presente, no protege contra la apoptosis.

En conjunto los resultados sugieren que NF-κB es un factor que suprime la apoptosis, el cual participa como un factor protector de células adyacentes a los focos apoptóticos y que su inactivación esta directamente involucrada con la inducción de alteraciones cardiacas congénitas.

Las alteraciones más frecuentemente encontradas en este trabajo fueron las comunicaciones interventriculares, la estenosis de grandes arterias y las dobles salidas de ventrículo derecho. Es difícil saber porque con un mismo tratamiento (Bay11-7085) se obtienen diferentes tipos de cardiopatías, sin embargo lo que todas ellas tienen en común es que se originan en la misma estructura. Aunque podríamos sugerir que el tratamiento farmacológico en el caso de las estenosis, al inactivar NF-κB y no estar presente, favorezca a que las células de esa región se mueran y esto causa el adelgazamiento de las arterias. Lo mismo estaría ocurriendo en las comunicaciones interventriculares, que por efecto de la inhibición no se de una proliferación celular suficiente para llegar a cerrar completamente la comunicación. En el caso de las dobles salidas de ventrículo

derecho lo más probable es que no se llevara a cabo una septación adecuada del tracto de salida, proceso que requiere de apoptosis.

Pero quizá la respuesta a esta pregunta no sea tan sencilla, ya que al estar trabajando con un modelo *in vivo* nos enfrentamos a procesos biológicos dinámicos y que durante el desarrollo embrionario transcurren de manera rápida y coordinada en tiempo y espacio, esto se complica aun más cuando se trabaja con un órgano como el corazón que es una estructura compartimentalizada y transcripcionalmente regionalizada.

Particularmente en la región del tracto de salida, que es una estructura de conexión entre los ventrículos y las grandes arterias, podrían existir distintos tipos de poblaciones de cardíocitos o regiones celulares que durante el desarrollo se mueven hacia la parte de ventricular o hacia la parte arterial. Por lo cual, no sabemos el momento exacto de aparición de estas supuestas regiones celulares y quizá, aunque el inhibidor este llegando a la misma zona, pequeñas diferencias en tiempo para nosotros (1-2 horas) al momento de la inyección, en los eventos del desarrollo podrían representar grandes diferencias y de esta manera se pueda estar afectando a unas u otras poblaciones celulares de la misma estructura que pueden generar diferentes alteraciones morfológicas.

Por otra parte, el tracto de salida suele ser una estructura muy delicada, porque la mayoría de las alteraciones congénitas se presentan en esta zona, lo cual nos podría estar hablando de mecanismos de regulación muy estrictos, es obvio que NF-κB juega un papel importante en esta zona, pero no es el único, de aquí la importancia de conocer más sobre la expresión de factores tejido-específicos que

pudieran estar por arriba o por debajo de las vías de señalización de NF-κB, aunque ya tenemos indicios de por arriba podría estar involucrada la Proteína Kinasa B (PKB/AKT) y por abajo las proteínas inhibidoras de la apoptosis (IAPs) todavía se necesita hacer más estudios de los posibles factores que estarían involucrados en estas intrincadas redes de señalización, no solo en la morfogénesis del corazón sino también en muchas de las enfermedades cardíacas humanas en las que NF-κB ha sido involucrado.

CONCLUSION:

Los resultados obtenidos en este trabajo apoyan fuertemente la hipótesis planteada, demostrando por primera vez *in vivo*, a través del uso de vectores reporteros con sitios de unión para κB y GFP, la participación de NF-κB como un factor clave de citoprotección en zonas adyacentes de apoptosis en el tracto de salida del corazón de embrión de pollo.

También mostramos que la inhibición de NF-κB en las zonas de expresión de la GFP, induce un incremento de la apoptosis, lo cual interfiere con el proceso normal de desarrollo y transformación del tracto de salida, mismo que provee los componentes estructurales que forman la conexión ventrículo-arterial, lo cual trae como consecuencia la aparición de alteraciones cardíacas congénitas durante la morfogénesis del corazón, en el embrión de pollo.

BIBLIOGRAFÍA

- Baeuerle PA, Henkel T. 1994 Function and activation of NF-kappa B in the immune system. *Annu Rev Immunol.* 12:141-79.
- Baldwin AS 1996 The NF-κB and IκB proteins : new discoveries and insights. *Annu. Rev. Immunol.* 14: 649-81
- Ballard DW, Dixon EP, Peffer NJ, Bogerd H, Doerre S, Stein B, Greene WC. 1992 The 65-kDa subunit of human NF-kappa B functions as a potent transcriptional activator and a target for v-Rel-mediated repression. *Proc Natl Acad Sci U S A.* 89(5):1875-9
- Barkett M, y Gilmore T. 1999. Control of apoptosis by Rel/NF-kappaB transcription factors. *Oncogene* 18(49):6910-24
- Barnes PJ, Adcock IM. 1997. NF-kappa B: a pivotal role in asthma and a new target for therapy. *Trends Pharmacol Sci.* 18(2):46-50.
- Beg AA, Baltimore D. 1996. An essential role for NF-kappaB in preventing TNF-alpha-induced cell death. *Science* Nov 1;274(5288):782-4
- Beg, AA, Sha, WC., Bronson, RT., Ghosh, S y Baltimore, D. 1995. Embryonic lethality and liver degeneration in mice lacking the RelA component of NF-κB. *Nature* 376, 177-170.
- Bellas RE, FitzGerald MJ, Fausto N, Sonenshein GE. 1997. Inhibition of NF-kappa B activity induces apoptosis in murine hepatocytes. *Am J Pathol* Oct;151(4):891-6
- Bergmann MW, Loser P, Dietz R y Harsdorf R. (2001) Effect of NFkB inhibition on TNF α induced apoptosis and downstream pathway in cardiomyocytes. *J Mol Cell Cardiol* 33: 1223-1232
- Bours V, Bonizzi G, Bentires-Alj M, Bureau F, Piette J, Lekeux P, Merville M. 2000. NF-kappaB activation in response to toxic and therapeutical agents: role in inflammation and cancer treatment. *Toxicology*.153(1-3):27-38.
- Chen F, Castranova V, Shi X, Demers LM. 1999. New insights into the role of nuclear factor-kappaB, a ubiquitous transcription factor in the initiation of diseases. *Clin Chem.* 45(1):7-17
- Chen ZJ, Parent L, Maniatis T. 1996. Site-specific phosphorylation of I kappa B alpha by a novel ubiquitination-dependent protein kinase activity. *Cell.* 84(6):853-62.

Cheng G., Wessels A. Gourdie G. y Thompson R. 2002. Spatiotemporal and Tissue Specific Distribution of Apoptosis in the Developing Chick Heart. Developmental Dynamics 223 (1): 119-133.

Craig R, Wagner M, McCardle T, Craig AG, Glembotski CC. 2001. The cytoprotective effects of the glycoprotein 130 receptor-coupled cytokine, cardiotrophin-1, require activation of NF-kappa B. J Biol Chem. 276(40): 37621-9.

de Moissac, D., Mustapha, S., Greenberg, A. H. y Kirshenbaum, L. A. 1998. Bcl-2 activates the transcription factor NFkB through degradation of cytoplasmic inhibitor IkBk. J Biol Chem 273 (37) : 23946-23951

de Moissac, D., Sheng, H. y Kirshenbaum, L. A. 1999. Linkage of the BH4 domain of Bcl-2 and the Nuclear Factor kB signaling pathway suppression of apoptosis. J Biol Chem 274 (41): 29505-29509.

Ferencz C, Rubin JD, McCarter RJ, Brenner JI, Neill CA, Perry LW, Hepner SI, Downing JW. 1985. Maternal mitral valve prolapse and congenital heart disease in the offspring. Am Heart J 110(4): 899-900.

Ghosh S, May MJ, Kopp EB. 1998. NF-kappa B and Rel proteins: evolutionarily conserved mediators of immune responses. Annu Rev Immunol. 16: 225-60

Gilmore TD, Koedood M, Piffat KA, White DW. 1996. Rel/NF-kappaB/I kappaB proteins and cancer. Oncogene. 13(7):1367-78.

Hamburger V, and Hamilton HL. 1951. A series of normal stages in the development of the chick embryo. J Morphol 88: 49-92.

Higuchi Y., Otsu K., Nishida K., Hirotani S., Nakayama H., Yamaguchi O., Matsumura Y., Ueno H., Tada M., Hori M. 2002. Involvement of reactive oxygen species-mediated NF-kappa B activation in TNF-alpha-induced cardiomyocyte hypertrophy. J Mol Cell Cardiol. 34(2):233-40.

Karin M. 1999. The beginning of the end: I-kappa-B kinase (IKK) and NF-kappaB activation. J Biol Chem. 274 (39): 27339-42.

Kelly RG, Zammit PS, Buckingham ME.,1999. Cardiosensor mice and transcriptional subdomains of the vertebrate heart. Trends Cardiovasc Med. 9(12): 3-10.

Keyes WM, Sanders EJ. 2002. Regulation of apoptosis in the endocardial cushions of the developing chick heart. Am J Physiol Cell Physiol. 282(6):C1348-60.

- Kirshenbaum LA. 2000. Bcl-2 intersects the NFkappaB signalling pathway and suppresses apoptosis in ventricular myocytes. *Clin Invest Med*. 23(5):322-30.
- Li, X., Zhao, X., Fang, Y., Jiang, X., Duong, T., Fan, C., Huan, C.C y Kain, S. R. 1998. Generation of destabilized green fluorescent protein as a transcription reporter. *J Biol Chem* 273(52):34970-5.
- Ling L, Cao Z, Goeddel DV. 1998. NF-kappaB-inducing kinase activates IKK alpha by phosphorylation of Ser-176. *Proc Nat Acad Sci U S A* 95 (7): 3792-7.
- Marianneau P., Cardona A., Edelman L. Deubel V. y Después P. 1997. Dengue Virus Replication in Human Hematoma Cells Activates NF-kB in Turn Induces Apoptotic Cell Death. *Journal of Virology* Apr. 3244-3249.
- Martinsen BJ. 2005. References guide to stages of chick heart embryology. *Dev Dyn* 233:1217-37.
- Mayo M, y Baldwing A. 2000. The transcription factor NF-kappaB: control of oncogénesis and cáncer therapy. *Biochim.Biophy. Acta* 1470 (2):55-62
- Mercurio F, Zhu H, Murray BW, Shevchenko A, Bennett BL, Li J, Young DB, Barbosa M, Mann M, Manning A, Rao A. 1997. IKK-1 and IKK-2: cytokine-activated IkappaB kinases essential for NF-kappaB activation. *Science*. 278(5339):860-6.
- Mercurio F, Murray BW, Shevchenko A, et al. 1999. I-kappa-B kinase (IKK)-associated protein I, a common componant of the heterogeneous IKK complex. *Mol Cell Biol* 19 (2): 1526-38.
- Miyamoto S, Verma IM. 1995. Rel/NF-kappa B/I kappa B story. *Adv Cancer Res*. 66:255-92.
- Mustapha S, Kirshner A, De Moissac D y Kirshenbaum L. 2000. A direct requirement of nuclear factor kB for suppression of apoptosis in ventricular myocytes. *Am J Physiol Heart Circ Physiol* 279 (3): H939-H945
- Peters RT, Liao SM, Maniatis T. 2000. IKK-epsilon is part of a novel PMA-inducible Ikappa-B kinase complex. *Mol Cell* 5(3): 513-22.
- Purcell N., Tang G., Yu C., Mercurio F., DiDonato J. y Lin A. 2001. Activation of NF-kB is required for hypertrophic growth of primary rat neonatal ventricular cardiomyocytes. *PNAS* 98(12):6668-73.
- Pexieder T: Mechanisms of Cardiac Morphogenesis and Teratogenesis. En Perspectives in Cardiovascular Research, Vol 5, Ed Raven Press, New York, 1981, pp. 93-99.

Rothenberg F., Hitomi M., Fisher S. y Watanabe M. 2002. Initiation of Apoptosis in the Developing Avian Outflow Tract Myocardium. *Devl Dyn* 223(4): 469-482.

Rothwarf DM, Zandi E, Natoli G, Karin M. 1998. IKK-gamma is an essential regulatory subunit of the IkappaB kinase complex. *Nature*. 395(6699):297-300

Sen R, Baltimore D. 1986. Inducibility of kappa immunoglobulin enhancer-binding protein Nf-kappa B by a posttranslational mechanism. *Cell*. 47(6):921-8.

Tanaka M, Fuentes ME, Yamaguchi K, Durnin MH, Dalrymple SA, Hardy KL, Goeddel DV. 1999. Embryonic lethality, liver degeneration, and impaired NF kappa B activation in IKK-beta- deficient mice. *Immunity* 10(4):421-9

Thurberg BL, Collins T. 1998. The nuclear factor-kappa B/inhibitor of kappa B autoregulatory system and atherosclerosis. *Curr Opin Lipidol*. 9(5):387-96.

Valen G., Yan Z. y Hansson G. 2001. Nuclear Factor Kappa-B and the Heart. *J Am Coll Cardiol* 38(2) 307-314.

Van den Hoff, M., Van den Eijnd, S. M., Viragh, S y Moorman, A. F. 2000. Programmed cell death in the developing heart. *Cardiovasc Res* 45, 603-620.

Yamaoka S, Courtois G, Bessia C, Whiteside ST, Weil R, Agou F, Kirk HE, Kay RJ, Israel A. 1998. Complementation cloning of NEMO, a component of the IkappaB kinase complex essential for NF-kappaB activation. *Cell*. 93(7):1231-40.

Watanabe M, Jafri A, Fisher S. 2001. Apoptosis Is Required for the Proper Formation of the Ventriculo-Arterial Connections. *Dev Biol* 240(1): 274–288

Zandi E, Rothwarf DM, Delhase M, Hayakawa M, Karin M. 1997. The IkappaB kinase complex (IKK) contains two kinase subunits, IKKalpha and IKKbeta, necessary for IkappaB phosphorylation and NF-kappaB activation. *Cell*. 91(2):243-52.

El papel del factor de transcripción NF-κB en la célula cardíaca

Salomón Hernández Gutiérrez,*^{**} Emilio Rojas del Castillo**

Resumen

Para la biología de hoy las vías de señalización intracelular que controlan los procesos entre la vida y la muerte celular son de gran interés. Al respecto, el NF-κB destaca como un factor de transcripción decisivo de respuesta rápida que participa en la activación de las vías de señalización de la muerte celular programada. Lo relevante es que sus efectos tienen consecuencias en el desarrollo normal y/o la homeostasis en muchas células o tejidos, que incluyen entre otros al sistema inmune, los folículos capilares, apéndices epidermales, el riñón y el sistema nervioso. En esta revisión analizamos el papel central que juega el factor de transcripción NF-κB en el funcionamiento normal de la célula cardíaca y sus implicaciones en algunas de las patologías cardíacas más frecuentes como: el daño por isquemia-reperfusión, la isquemia precondicionada, la hipertrofia, la aterosclerosis, y el paro cardíaco. El NF-κB comúnmente funciona como un agente citoprotector, aunque hay algunos casos en los cuales resulta ser pro-apoptótico dependiendo del estímulo y del contexto celular. Se han logrado avances significativos a nivel molecular, que han permitido entender su modo de acción y el papel interactivo que juega con otros factores claves. Estos estudios han identificado muchos genes anti-apoptóticos y pro-apoptóticos regulados por la actividad del NF-κB abriendo novedosas aproximaciones que se pueden hacer sobre sus efectos en el desarrollo de patologías cardíacas.

Summary

ROLE OF THE TRANSCRIPTION FACTOR NF-κB IN THE CARDIAC CELL

The signaling pathways that control the life-death switch of a cell are a prime interest in Modern Biology. To this respect, NF-κB has emerged as a decisive transcription factor in the cell's response to apoptotic challenge and its effects on apoptosis have far-reaching consequences for normal development and/or homeostasis in many cells and tissues, including the immune system, hair follicles, and epidermal appendages, the liver, and nervous system. In this review we analyze the pivotal role of the transcription factor NF-κB in the normal functioning of the cardiac cell and its implication on some of the most frequent cardiac pathologies, such as ischemia-reperfusion injury, ischemic preconditioning, hypertrophy, atherosclerosis and cardiac arrest. While NF-κB is commonly found to be cytoprotective, there are a number of instances where it is proapoptotic depending on the inducing stimulus and the cell context. Significant progress has been made in understanding its mode of action and its interplay with other key factors. These studies identified many anti- and pro-apoptotic NF-κB regulated genes that mediate its activity, these important new insights fuel hope that novel approaches will be developed to control the effects of NF-κB in cardiac pathologies.

(Arch Cardiol Mex 2005; 75: 363-370)

Palabras clave: Cardiomiocitos. Apoptosis. Factor de transcripción nuclear κB (NF-κB).

Key words: Cardiomyocytes. Apoptosis. Nuclear factor κB (NF-κB).

* Laboratorio de Biología Molecular, Escuela de Medicina Universidad Panamericana.

** Departamento de Toxicología Ambiental y Medicina Genómica IIB-UNAM.

Correspondencia: Dr. Emilio Rojas del Castillo. Instituto de Investigaciones Biomédicas-UNAM. Circuito Escolar s/n Ciudad Universitaria. 04510 México DF. Tel. 56-22-91-76. E-mail: emillor@servidor.unam.mx

Recibido: 16 de febrero de 2004

Aceptado: 04 de mayo de 2005

Introducción

En un organismo, los diversos tipos celulares que constituyen sus órganos y tejidos, difieren dramáticamente. Estas diferencias no son más que un simple reflejo de cambios en la expresión de sus genes. Como bien sabemos, el ADN de un organismo codifica para todas las moléculas proteicas que se requieren para crear, dar forma y función a una célula. Todo ello gracias a los principios básicos de control en la expresión diferencial, a través de mecanismos finos de regulación donde los factores de transcripción son determinantes ya que finalmente éstos son los encargados de modular la expresión genética.

A nivel molecular sabemos que muchas patologías tienen su origen en alteraciones en los niveles de expresión de algunos genes, las cardíacas no son la excepción. Las enfermedades cardíacas son la primera causa de muerte a nivel mundial, prácticamente todas terminan con un infarto al miocardio. De muchas de ellas se conocen las causas, pero no del todo los mecanismos moleculares que las ponen en marcha.

Conocer cómo se lleva a cabo el control a nivel molecular dentro de la célula cardíaca, podría ayudarnos a entender mejor la patología de algunas enfermedades causadas por la desregulación en la expresión y la actividad transcripcional. Dentro de estos factores, el factor de transcripción de la cadena κ de anticuerpos de células B (NF-κB), parece jugar un papel clave en diversas patologías cardíacas como: el daño por isquemia-reperfusión y enfermedades que tienen en común la participación de tejido de músculo liso y endotelial de vasos y arterias (el infarto congestivo cardíaco, los síndromes coronarios agudos, la angina de pecho, la hipertrofia y la aterosclerosis) y al parecer con enfermedades congénitas como tetralogía de Fallot.¹

I. La activación y la función del NF-κB

El NF-κB se ha definido como un factor de transcripción ubicuo detectado de forma inactiva casi en todas las células y cuya activación involucra la regulación de una amplia variedad de genes.^{2,4} La familia de factores de transcripción eucarióticos Rel/NF-κB está compuesta por proteínas relacionadas estructuralmente como son las p50, p52, p65 (Rel A), c-Rel y RelB. Todos los miembros de esta familia se caracterizan por la presencia de un dominio común conservado llama-

do RHD (Rel Homology Domain). El dominio RHD tiene varias funciones: a través de él, los miembros de esta familia se unen y forman homo o hetero-dímeros, las formas más comunes están constituidas por los hetero-dímeros p50, p65/ o p52/p65.^{3,5} Este dominio además de ser el sitio de unión para sus inhibidores: los IκBs, contiene las secuencias de localización nuclear y las secuencias de unión al ADN.^{6,7}

La actividad del NF-κB depende de su localización celular. Si está en el citoplasma se encuentra formando un complejo trimérico con alguno de sus inhibidores (IκB) que oculta sus secuencias de destino nuclear y es por tanto, transcripcionalmente inactivo. Cuando el IκB se fosforila, éste es ubiquitinilado, lo que permite su reconocimiento por el proteosoma que lo degrada, liberando al dímero del NF-κB (por ejemplo: p50/p65) que se transloca al núcleo, donde activa a sus genes blanco.

Los IκBs fueron identificados originalmente como factores que inhiben la actividad del NF-κB debida a una interacción proteína-proteína.⁸ Los IκB constituyen una familia de al menos 6 miembros: IκB α , IκB β , IκB γ , IκB ϵ , p105, p100 y Bcl3, que están involucrados en el control de la activación del NF-κB.^{3,5,9} Los IκBs se unen a los dímeros de NF-κB a través de motivos conservados de ankirina y bloquean estéricamente la función de sus secuencias de localización nuclear, lo que permite su retención en el citoplasma. Para que el NF-κB tenga acceso a su sitio de acción, el núcleo; el complejo NFκB/IκB debe ser disociado a través de la fosforilación de su inhibidor. Este proceso que en primera instancia parece tan sencillo, requiere la participación interactiva, también guiada por procesos de fosforilación de proteínas citoplasmáticas que se encuentran por arriba en la vía de activación del NF-κB, llamadas cinasas de los inhibidores de IκB (IKK). Los IκBs mejor estudiados son el α y el β , ambos se fosforilan en respuesta a diferentes estímulos en los residuos de serinas: S32 y S36. Una vez que los IκBs se han fosforilado, se inicia un proceso de ubiquitinización y de su degradación en el proteosoma. Este mecanismo libera al NF-κB, ya que al desaparecer el inhibidor, se descubre la secuencia de localización nuclear y permite al dímero ser translocado al núcleo, quedando de forma libre para unirse a promotores de genes con sitios de unión κB e iniciar la transcripción de los mismos.^{6,7,10,11}

II. El NF-κB y los cardíocitos en cultivo

Se ha demostrado que el movimiento del NF-κB hacia el núcleo, entre otras cosas, es un requisito para la supervivencia ante determinados estímulos o señales de estrés que desencadenan la muerte celular programada o apoptosis. Estos resultados se han observado, usando como modelo cultivos primarios de cardíocitos murinos neonatos *in vitro*, bajo las condiciones de estrés más comunes en el adulto; el estrés oxidativo y la sobrecarga.

Otro ejemplo donde el NF-κB participa en la protección contra la apoptosis en células cardíacas, es cuando hay falta de oxigenación del miocardio (hipoxia), por lo que es necesario montar una respuesta que evite la activación del programa de muerte en los cardíocitos y uno de los efectores de esta respuesta anti-apoptótica es una citocina liberada de forma autocrina llamada cardiotropina 1; sin embargo, para que esta molécula pueda actuar se requiere la translocación nuclear del NF-κB.¹²

En el caso de cardíocitos ventriculares en cultivo, cuando se impide la translocación del NF-κB al núcleo por la presencia de una forma mutada del IκB α que no puede ser fosforilada,¹³ que actúa como una forma dominante negativa, o bien con el uso de un inhibidor de la actividad del proteasoma,¹⁴ se pierde toda capacidad de respuesta anti-apoptótica ante la presencia de sustancias como la cicloheximida, que promueve la muerte celular programada en ausencia de la función del NF-κB.

En ninguno de los casos anteriores se conoce el mecanismo por el cual el NF-κB promueve la supervivencia. La transcripción de algunos genes de supervivencia que contienen elementos de unión para el NF-κB en sus promotores es la idea más apoyada, a pesar de que se ha demostrado que la activación del NF-κB en cardíocitos, no modifica los niveles celulares de los candidatos más fuertes como las proteínas inhibidoras de apoptosis (IAPs) 1 y 2 o los niveles de genes inhibitorios de la apoptosis de la familia del Bcl-2.¹⁴ Esta evidencia no descarta la posible participación del NF-κB en el efecto protector, ya que se ha observado que es posible que no ejerza su efecto sobre moléculas que se encuentran por arriba de la cascada de señalización, sino más bien sobre moléculas por debajo de la cascada, como sugieren experimentos en los que se ha observado que la transfección del Bcl-2 dismi-

nuye los niveles del IκB α y en consecuencia, favorece un incremento del NF-κB en el núcleo¹⁵ (*Fig. 1*).

La otra condición relevante en donde se ha observado la participación del NF-κB es en la hipertrofia inducida por la angiotensina II, la fentilefrina y la endotelina 1 provocando una estimulación de la actividad del NF-κB que depende de la degradación de las proteínas IκB α . Tal activación es necesaria para la producción de dos de los principales marcadores del fenotipo hipertrófico que son la producción del factor natriurético atrial y el incremento en la talla de los cardíocitos. De hecho, la sola sobre-expresión de las sub-unidades p65 o c-Rel provoca por sí misma un incremento del tamaño celular.¹⁵ Por otra parte, es importante destacar que la inducción de la hipertrofia también puede ocurrir por estimulación con el factor de necrosis tumoral alfa (TNF α) en cardíocitos aislados, y ésta es mediada por la activación del NF-κB a través de la generación de especies reactivas de oxígeno (ROS).^{16,17}

III. El NF-κB y el corazón

Se ha logrado tener progresos significativos en esclarecer los mecanismos moleculares para demostrar el papel clave que tiene el NF-κB en algunas patologías cardíacas. Sin embargo, a diferencia de lo que ocurre con los cardíocitos en cultivo, donde NF-κB se destaca por su papel anti-apoptótico, en algunas alteraciones cardíacas como la isquemia-reperfusión, el rechazo a trasplante, los síndromes coronarios agudos y la aterosclerosis, el NF-κB parece tener una función pro-apoptótica,¹ sólo en el caso de la preconditioning isquémica tiene una función anti-apoptótica.¹

Aunque todavía no se puede confirmar una relación casual entre apoptosis en los cardíocitos y la difusión cardíaca, la controversia continúa a pesar de contar ya con algunos modelos. A continuación analizaremos brevemente el papel de este factor de transcripción en algunas de estas patologías.

III.1 La isquemia-reperfusión

La isquemia-reperfusión (I/R) provoca apoptosis en las células de corazones de rata. También se sabe que la I/R induce rápidamente la activación de NF-κB en el miocardio,¹⁸⁻²⁰ incluso se ha observado un incremento en la expresión de este factor, en humanos con cirugías a corazón abierto.

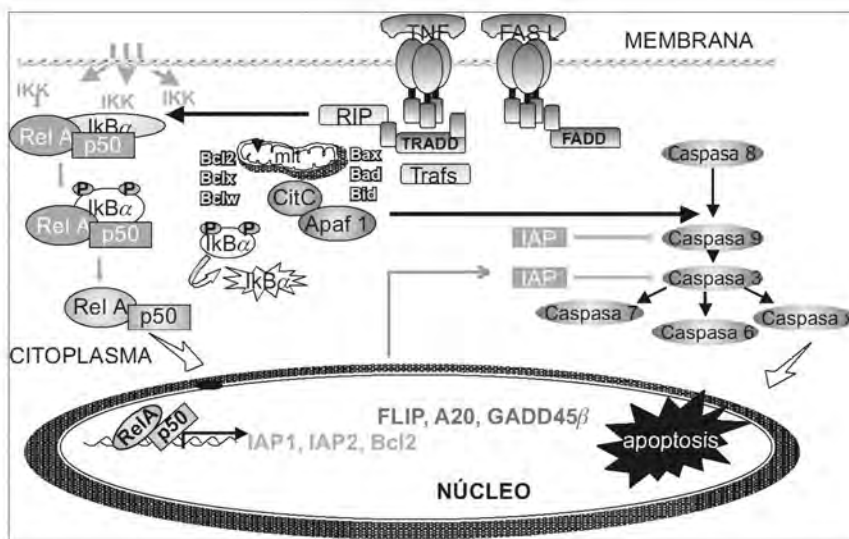


Fig. 1. Posible mecanismo de protección contra la apoptosis en cardiocitos. Una vez que NF- κ B ingresa al núcleo, puede activar genes cuyos productos bloquean el paso de la señal apoptótica de la vía mediada por receptores (extrínseca) como las IAPs que inactivan a las caspasas, o activar genes anti-apoptóticos como el Bcl2 de la vía intrínseca, que impide la liberación del citocromo c de la mitocondria. Recientemente, se ha visto en corazones infartados una disminución en la expresión de algunos genes anti-apoptóticos como FLIP, A20 Y GADD45 β que pueden ser activados por el NF- κ B.

Abreviaturas:

Cinasa del inhibidor de I κ B (IKK), Inhibidor κ B α (I κ B α), Rel A unido a p50 (NF- κ B), Proteínas Inhibidoras de la Apoptosis (IAP), Proteína de Células de Linfoma B Tipo 2 (Bcl2), Proteína Inhibidora de FLICE (FLIP), Proteína inducida por Daño al ADN y Detención del Crecimiento (GADD45), Proteína Anti-apoptótica (A20), Caspase (Proteasa Cisteína-Aspartato), Mitocondria (mit), Proteínas Anti-apoptóticas (Bcl2, Bclx, Bclw), Proteínas Pro-apoptóticas (Bax, Bad, Bid), Citocromo c (Cit c), Factor Activador de la Proteasa Apoptótica (Apaf 1), Factor de Necrosis Tumoral (TNF), Ligando de Fas (Fas L), Proteína que Interactúa con el Receptor (RIP), Receptor de TNF Asociado a Dominios de Muerte (TRADD), Factores asociados al TNFR (Trafs), Dominio de Muerte Asociado a FAS (FADD).

to.¹ En este caso, el NF- κ B no parecería jugar un papel protector, ya que estaría transcribiendo genes de citocinas y moléculas de adhesión (ICAM1, VCAM y ELAM1),²¹ que más bien tienen que ver con procesos de tipo inflamatorio, que son activados en el área donde se localizan los endotelios que transportan el flujo sanguíneo y no tanto por los cardiocitos. No obstante los avances en citoprotección, durante las rutinas de cirugía y trasplante, la I/R inevitablemente provoca disfunción cardíaca. Los esfuerzos por minimizar el daño por I/R se han enfocado a la administración de bloqueadores de canales de calcio, agentes de adhesión, antineutrófilos, antioxidantes²² y recientemente se han usado inhibidores del proteosoma o vectores virales que codifican péptidos con sitios de unión para NF- κ B.²³ Así mismo, se ha utilizado la introducción de fragmentos de ADN de doble cadena como señuelos para unir los dímeros activos del NF- κ B.^{23,24} El uso de estas secuencias *ex vivo* bloquea la expresión de moléculas de adhesión, el daño por re-

perfusión, el rechazo y sobre todo prolonga la supervivencia de un injerto de arterias coronarias en ratas.²⁵

Una isquemia aguda seguida de una reperfusión prolongada ha mostrado inducir apoptosis en cardiocitos. Sin embargo, Maulik y colaboradores demostraron que la adaptación del miocardio a la isquemia inducida en períodos cortos, seguida por breves períodos de reperfusión, reduce la apoptosis y disminuye la expresión de los genes Bcl2, AP1 y NF- κ B.²⁶

III.2 La preconditioning isquémica

Algunos trabajos han permitido la identificación de un potente mecanismo cardioprotectivo endógeno contra la I/R llamado preconditioning isquémico (IP).²⁷ Este fenómeno representa una respuesta cardio-adaptativa a la I/R y permite al corazón ser más tolerante a períodos prolongados de daño por isquemia. Aunque el fenómeno de IP es bien conocido, los mecanismos moleculares que lo median son controvertidos. Hay re-

sultados que sugieren que el NF-κB juega un papel esencial en la respuesta de adaptación del miocardio a la isquemia. Morgan y colaboradores demostraron en corazones de conejo que el NF-κB se activa en la IP y se inhibe durante una I/R posterior.²² Se ha demostrado que la adaptación del miocardio a la isquemia podría estar controlada a nivel molecular al dispararse una vía de señalización regulada por las cinasas p38 MAP y MAPKAP2.²⁶ Sin embargo, no está claro y aún queda por definir si durante el daño de I/R se activa el NF-κB en los cardíocitos y si realmente esta activación en el cardíocito contribuye al deterioro de las células, ya que parece existir una confusión conceptual en cuanto al tipo celular en el que se activa el NF-κB, pues todo parece indicar que su activación ocurre en las células del endotelio, lo que nos deja la impresión de que las moléculas características de la reacción inflamatoria (como selectina E, ICAM1 o VCAM1) son las que se asocian al daño al miocardio. El papel que podría estar jugando el NF-κB en la I/R y en la I/P se esquematiza en la Figura 2, que al parecer dependería de la intensidad del estímulo inducido por el estrés oxidativo, intenso o moderado respectivamente.

La cardioprotección también puede simularse mediante estrés oxidativo causado por hiperoxia como lo muestra el trabajo de Tahepol y cols.²⁸ Ellos reportan que la exposición de corazones de rata a hiperoxia (sometidos a una atmósfera de oxígeno del 95% durante una hora, y después a una isquemia global de 25 minutos y 60 minutos de reperfusión), genera la protección del corazón contra daños producidos por la isquemia y que los efectos citoprotectores de la hiperoxia dependen de la activación del NF-κB.

III.3 Hipertrofia

La hipertrofia cardíaca es otra condición donde el NF-κB se ha visto involucrado, participando activamente en el incremento del tamaño celular, no obstante, en condiciones normales los cardíocitos son células terminalmente diferenciadas que difícilmente llegan a proliferar en el corazón.²⁹ En respuesta a varios estímulos extracelulares, los cardíocitos pueden crecer de manera hipertrófica, un evento que es caracterizado por el incremento de tamaño celular, incremento en el contenido de proteínas contráctiles como las miosinas, así como también la expresión de genes embrionarios como el factor de crecimiento natriurético atrial (ANF).^{16,30} Purcell y colabora-

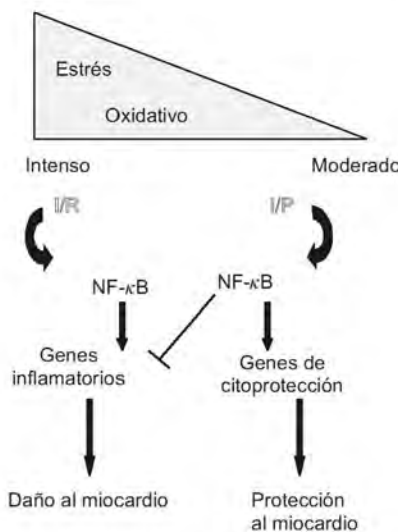


Fig. 2. Efecto paradójico en la activación del NF-κB. En la Isquemia Reperfusión (I/R) hay un estímulo intenso generado por estrés oxidativo que permite la transcripción de proteínas pro-inflamatorias en las células endoteliales y causa daño al miocardio. Si por el contrario se da un estímulo moderado como el que sucede en la Isquemia Pre-condicionada I/P, NF-κB activa genes anti-apoptóticos y el miocardio recibe protección. Adicionalmente en la I/P el NF-κB puede inhibir la activación de los genes inflamatorios que en la I/R ocasionan daño al miocardio.

dores fueron los primeros en demostrar que la activación de NF-κB es necesaria y suficiente para inducir una respuesta hipertrófica a través de proteínas G acopladas a receptores en cardíocitos aislados.¹⁶ De igual manera, Higuchi y colaboradores han demostrado que la inducción de hipertrfia por el TNF α en cardíocitos en cultivo es dependiente de la activación de NF-κB.¹⁷ A pesar de que la hipertrfia es una respuesta de naturaleza adaptativa y compensatoria cuando el corazón es sometido a exceso de trabajo, una hipertrfia cardíaca sostenida puede llevar a oca- sionar fallas cardíacas.³⁰ Algo que ha impedido el avance del estudio *in vivo* de la hipertrfia es la carencia de modelos experimentales, es por ello que aún muchos estudios no son concluyentes en cuanto a la relación que existe entre el NF-κB y la hipertrfia cardíaca; y por lo tanto, los mecanismos responsables de la hipertrfia y la transición hacia las fallas cardíacas son pobremente entendidas.

III.4 La aterosclerosis

Durante la patogénesis de la aterosclerosis, también se ha involucrado al factor NF-κB.^{31,34} La

aterosclerosis es una enfermedad crónica inflamatoria de las arterias, provocada por múltiples factores que incluyen la hipertensión, la diabetes, el consumo de cigarrillo y los desórdenes metabólicos de las lipoproteínas,³⁵ que puede terminar con la vida del paciente con un ataque al corazón o una insuficiencia cardíaca. La aterosclerosis actualmente se considera como una respuesta exagerada de daño producida en la pared de los vasos que se caracteriza por la presencia de procesos inflamatorios y proliferación fibrocelular.³³ En corazones humanos con aterosclerosis, se ha visto al NF-κB activo, está presente en las áreas fibrosas y ateromatosas de lesiones ateroscleróticas mientras que en áreas de vasos que carecen de aterosclerosis hay poco o está inactivado.³⁴

El NF-κB puede ser activado por diversos estímulos pro-aterogénicos (citocinas inflamatorias, lipopolisacáridos, estrés oxidativo y tensión mecánica). La producción de múltiples citocinas y moléculas de adhesión, que en parte son controladas por la activación del NF-κB son importantes en la formación temprana de lesiones por la aterosclerosis y la generación de señales de supervivencia podría ser determinante para la progresión de la lesión.¹¹

III.5 Los infartos

En experimentos con corazones de rata y humanos con alteraciones del ventrículo izquierdo donde el miocardio ha sufrido una remodelación por infarto, el NF-κB y el AP1 están crónicamente activados. Estos hallazgos son importantes porque involucran rutas de activación del NF-κB y el AP1 *in vivo* durante los procesos de remodelación cardíaca.³⁵

En estudios recientes se ha analizado la expresión de genes por micro-arreglos y se han visto cambios en corazones con isquemia e infartos y en corazones normales. Los resultados muestran una disminución en la expresión de genes anti-apoptóticos: GADD 45β (growth arrest and DNA damage-inducible), FLICE (FLIP inhibitory protein) y el gen de la proteína A20, los cuales son inducidos por el TNFα a través de la activación de la vía del NF-κB (*Fig. 1*). Los resultados también muestran incrementos en la expresión de TRAIL (TNF-related apoptosis-inducing ligand), así como también decrementos en la expresión del receptor 1 del TNFα, el cual activa el NF-κB,³⁶ lo cual sugiere un papel importante de este factor de transcripción en infartos al miocardio.

IV. Perspectivas

Las enfermedades cardíacas son la primera causa de muerte a nivel mundial, prácticamente todas terminan con un infarto al miocardio. De muchas de ellas se conocen las causas, pero se desconoce a profundidad cuáles pueden ser los mecanismos moleculares que las originan. Es importante entender estos mecanismos, en particular los que dependen de la activación de factores de transcripción como NF-κB que le permiten al cardiocito activar, por medio de diferentes estímulos, programas genéticos que traen consigo una amplia gama de posibilidades de respuesta.

El NF-κB es un factor de transcripción que parece jugar un papel clave en patologías cardíacas, por lo que mantenerlo inactivo en el citoplasma con el uso de drogas o por la transferencia de genes en las enfermedades donde se encuentra muy activo, ha ayudado a impedir que éstas progresen. Sin embargo, este efecto es transitorio ya que en el momento que desaparece el mecanismo que mantiene inactivo al NF-κB, éste nuevamente se vuelve a activar.

Dado que son múltiples las vías a través de las cuales el NF-κB puede actuar, sería importante identificar a cada una de ellas de forma independiente con la finalidad de bloquear de manera selectiva el paso de la señal del estímulo que provoca una alteración cardíaca, donde la participación del NF-κB es activa. Por ejemplo, una posibilidad interesante consiste en conocer más a fondo los mecanismos de activación de NF-κB que regulan la expresión de proteínas anti-apoptóticas para desarrollar estrategias donde se puedan encender estas vías en los cardiocitos en camino de apoptosis.

En los próximos años sin lugar a dudas, la tarea más fuerte será entender los procesos celulares de las interacciones que ocurren en una misma área cardíaca entre células del músculo liso, endoteliales, fibroblastos y cardiocitos, en donde la comunicación por señales paracrinas es fundamental. Quizá esto podría ayudarnos a entender por qué a veces el NF-κB activa genes anti-apoptóticos y en otras ocasiones promueve la expresión de genes pro-inflamatorios, o la correlación que existe entre la alta actividad del NF-κB y la aterosclerosis y el progreso de la enfermedad. La pregunta será ¿La actividad del NF-κB en otras poblaciones celulares afecta directamente a los cardiocitos? no se sabe, pero al final la consecuencia en el corazón como órgano en su conjunto es la misma, la presencia de la patología cardíaca.

Referencias

1. VALEN G, YAN Z, HANSSON G: *Nuclear Factor Kappa-B and the Heart*. J Am Coll Cardiol 2001; 38(2): 307-314.
2. SEN R, BALTIMORE D: *Inducibility of kappa immunoglobulin enhancer-binding protein Nf-kappa B by a posttranslational mechanism*. Cell 1986; 47(6): 921-928.
3. BALDWIN AS: *The NF-κB and IκB proteins: new discoveries and insights*. Annu Rev Immunol 1996; 14: 649-681.
4. MIYAMOTO S, VERMA IM: *Rel/NF-kappa B/I kappa B story*. Adv Cancer Res 1995; 66: 255-292.
5. BALLARD DW, DIXON EP, PEFFER NJ, BOGERD H, DOERRE S, STEIN B, ET AL: *The 65-kDa subunit of human NF-kappa B functions as a potent transcriptional activator and a target for v-Rel-mediated repression*. PNAS 1992; 89(5): 1875-1879.
6. CHEN F, CASTRANOVA V, SHI X, DEMERS LM: *New insights into the role of nuclear factor-kappaB, a ubiquitous transcription factor in the initiation of diseases*. Clin Chem 1999; 45(1): 7-17.
7. GHOSH S, MAY MJ, KOPP EB: *NF-kappa B and Rel proteins: evolutionarily conserved mediators of immune responses*. Annu Rev Immunol 1998; 16: 225-260.
8. BAEUERLE PA, HENKEL T: *Function and activation of NF-kappa B in the immune system*. Annu Rev Immunol 1994; 12: 141-179.
9. BOURS V, BONIZZI G, BENTRIES-ALI M, BUREAU F, PIETTE J, LEKEUX P, ET AL: *NF-kappaB activation in response to toxic and therapeutical agents: role in inflammation and cancer treatment*. Toxicol 2000; 153(1-3): 27-38.
10. BARNES PJ, ADCOCK IM: *NF-kappa B: a pivotal role in asthma and a new target for therapy*. Trends Pharmacol Sci 1997; 18(2): 46-50.
11. THURBERG BL, COLLINS T: *The nuclear factor-kappa B/inhibitor of kappa B autoregulatory system and atherosclerosis*. Curr Opin Lipidol 1998; 9(5): 387-396.
12. CRAIG R, WAGNER M, MCCARDLE T, CRAIG AG, GLEMBOTSKI CC: *The cytoprotective effects of the glycoprotein 130 receptor-coupled cytokine, cardiotrophin-1, require activation of NF-kappa B*. J Biol Chem 2001; 276(40): 37621-37629.
13. MUSTAPHA S, KIRSHNER A, DE MOISSAC D, KIRSHEMBAUM L: *A direct requirement of nuclear factor κB for suppression of apoptosis in ventricular myocytes*. Am J Physiol Heart Circ Physiol 2000; 279: H939-H945.
14. BERGMANN MW, LOSER P, DIETZ R, HARSDFORD R: *Effect of NF-κB inhibition on TNFα induced apoptosis and downstream pathway in cardiomyocytes*. J Mol Cell Cardiol 2001; 33: 1223-1232.
15. DE MOISSAC D, SHENG H, KIRSHEMBAUM L: *A linkage of the BH4 domain of Bcl-2 and the Nuclear Factor κB signaling pathway suppression of apoptosis*. J Biol Chem 1999; 274 (41): 29505-29509.
16. PURCELL N, TANG G, YU C, MERCURIO F, DiDONATO J, LIN A: *Activation of NF-κB is required for hypertrophic growth of primary rat neonatal ventricular cardiomyocytes*. PNAS 2001; 98(12): 6668-6673.
17. HIGUCHI Y, OTSU K, NISHIDA K, HIROTANI S, NAKAYAMA H, YAMAGUCHI O, ET AL: *Involvement of reactive oxygen species-mediated NF-kappa B activation in TNF-alpha-induced cardiomyocyte hypertrophy*. J Mol Cell Cardiol 2002; 34(2): 233-240.
18. LI C, BROWDER W, KAO RL: *Early activation of transcription factor NF-κB during ischemia in perfused rat heart*. Am J Physiol 1999; 276: H543-H552.
19. CHANDRASEKAR B, FREEMAN GL: *Induction of nuclear factor κB and activation protein-1 in postischemic myocardium*. FEBS Lett 1997; 401: 30-34.
20. SHIMIZU N, YOSHIYAMA M, OMURA T, HANATANI A, KIM S, TAKEUCHI K: *Activation of mitogen activated protein kinases and activator protein-1 in myocardial infarction in rats*. Cardiovasc Res 1998; 38: 116-124.
21. SUN B, FAN H, HONDA T, FUJIMAKI R, LAFOND-WALKER A, MASUI Y, ET AL: *Activation of NF kappa B and expression of ICAM-1 in ischemic-reperfused canine myocardium*. J Mol Cell Cardiol 2001; 33(1): 109-119.
22. MORGAN E, BOYLE E, YUN W, GRISCAVAGE-ENNIS J, FARR AL, CANTY T, ET AL: *An essential role for NF-kappaB in the cardioadaptive response to ischemia*. Ann Thorac Surg 1999; 68(2): 377-382.
23. PYE J, ARDESHIRPOUR F, McCAIN A, BELLINGER DA, MERRICKS E, ADAMS J, ET AL: *Proteasome inhibition ablates activation of NF-kappa B in myocardial reperfusion and reduces reperfusion injury*. Am J Physiol Heart Circ Physiol 2002; 284(3): H919-H926.
24. YAMASAKI K, ASAI T, SHIMIZU M, AOKI M, HASHIYA N, SAKONJO H, ET AL: *Inhibition of NFκappaB activation using cis-element decoy of NFκappaB binding site reduces neointimal formation in porcine balloon-injured coronary artery model*. Gene Ther 2003; 10(4): 356-364.
25. FEELEY BT, MINIATI D, PARK AK, HOYT EG, ROBINS RC: *Nuclear factor-KappaB transcription factor decoy treatment inhibits graft coronary artery disease after cardiac transplantation in rodents*. Transplant 2000; 15: 70(11): 1560-1568.
26. MAULIK N, SATO M, PRICE BD, DAS DK: *An essential role of NFκappaB in tyrosine kinase signaling of p38 MAP kinase regulation of myocar-*

- dial adaptation to ischemia. FEBS Lett 1998; 16: 429(3): 365-369.
27. MELDRUM DR: *Mechanisms of cardiac preconditioning: ten years after the discovery of ischemic preconditioning*. J Surg Res 1997; 73(1): 1-13.
 28. TAHEPOLD P, VAAGE J, STARKOF J, VALEN G: *Hyperoxia elicits myocardial protection through a nuclear factor kappaB-dependent mechanism in the rat heart*. J Thorac Cardiovasc Surg 2003; 125(3): 650-660.
 29. MORGAN HE, GORDON E, KIRA E, CHUA B, RUSSO L, PETERSON CJ, ET AL: *Biochemical mechanisms of cardiac hypertrophy*. Annu Rev Physiol 1987; 49: 533-543.
 30. CHIEN KR, KNOWLTON KU, ZHU H, CHIEN S: *Regulation of cardiac gene expression during myocardial growth and hypertrophy: molecular studies of an adaptive physiologic response*. FASEB J 1991; 5: 3037-3046.
 31. BRAND K, PAGE S, ROGIER G, BARTSH A, BRAND R, KNUECHEL R: *Actived transcription factor nuclear factor-kappa B is present in the atherosclerotic lesion*. J Clin Invest 1996; 97(7): 1715-1722.
 32. COLLINS T, CYBULSKY MI: *NF-kappaB: pivotal mediator or innocent bystander in atherogenesis?* J Clin Invest 2001; 107(3): 255-264.
 33. ROSS R: *The pathogenesis of atherosclerosis: a perspective for the 1990s*. Nature 1993; 362: 801-808.
 34. BRAND K, PAGE S, WALLI AK, NEUMEIER D, BAEUERLE PA: *Role of nuclear factor-kappa B in atherogenesis*. Exp Physiol 1997; 82(2): 297-304.
 35. FRANTZ S, FRACCAROLLO D, WAGNER H, BEHR TM, JUNG P, ANGERMANN CE, ET AL: *Sustained activation of nuclear factor kappa B and activator protein 1 in chronic heart failure*. Cardiovasc Res 2003; 57(3): 749-756.
 36. STEENBERGEN C, AFSHARI C, PETRANKA J, COLLINS J, MARTIN K, BENNETT L, ET AL: *Alteration in apoptotic signalling in human idiopathic cardiomyopathic hearts in failure*. Am J Physiol Heart Circ Physiol 2003; 284: H266-H276.